調４２４－（３）－３

第424回地震調査委員会資料

〈目　　次〉

- 広帯域地震計を用いたモーメントテンソル解析結果（2026年1月01日-1月31日）……2
- 紀伊半島・東海地域の深部低周波微動活動状況（2026年1月）…… 15
- 四国の深部低周波微動活動状況（2026年1月）…… 16
- 四国西部の短期的スロースリップ活動状況（2026年1月）…… 17
- 日本周辺における浅部超低周波地震活動（2025年11月～2026年1月）…… 18
- 2025年12月8日青森県東方沖の地震観測点補正値による震源再決定…… 20
- 2025年12月8日青森県東方沖の地震の断層すべり分布（暫定）…… 21
- 2025年12月8日青森県東方沖の地震における津波波源を用いた矩形断層面推定（暫定）…… 22
- 2025年12月8日青森県東方沖の地震比較検討資料…… 23

令和8年2月10日

国立研究開発法人
防災科学技術研究所
NIED
National Research Institute for Earth Science and Disaster Resilience

MOWLAS Monitoring of Waves on Land and Seafloor

NIED 防災科研

広帯域地震計を用いたモーメントテンソル解析結果
(2026 年 01 月 01 日–01 月 31 日)

国立研究開発法人 防災科学技術研究所

期間中のイベント数:149

・北海道地方

12) 北海道東方沖 (01/06 03:57 Mw4.3 H_11km VR65.81/3) 北西ー南東圧縮の逆断層
13) オホーツク海南部 (01/06 07:32 Mw5.2 H420km VR74.84/3) 東西方向に圧縮軸を持つ型
28) 十勝支庁中部 (01/08 13:01 Mw4.0 H_83km VR60.94/3) 東西圧縮の逆断層
45) 北海道東方沖 (01/12 02:35 Mw4.4 H_17km VR72.97/3) 北西ー南東圧縮の逆断層
47) 宗谷支庁南部 (01/12 09:48 Mw4.1 H_5km VR66.54/3) 東北東ー西南西圧縮の逆断層
48) 宗谷支庁南部 (01/12 09:50 Mw4.7 H_5km VR66.19/3) 北東ー南西圧縮の逆断層
49) 宗谷支庁南部 (01/12 09:58 Mw4.2 H_5km VR79.31/3) 東北東ー西南西圧縮の逆断層
50) オホーツク海南部 (01/12 10:52 Mw5.7 H440km VR77.90/3) 東西方向に圧縮軸を持つ型
51) 宗谷支庁南部 (01/12 11:52 Mw4.1 H_5km VR72.65/3) 北東ー南西方向に圧縮軸を持つ型
52) 宗谷支庁南部 (01/12 11:57 Mw4.1 H_5km VR69.06/3) 北東ー南西圧縮の逆断層
56) 宗谷支庁南部 (01/13 01:10 Mw4.4 H_5km VR78.19/3) 東北東ー西南西圧縮の逆断層
57) 宗谷支庁南部 (01/13 01:58 Mw4.8 H_5km VR81.19/3) 東西圧縮の逆断層
59) 択捉島付近 (01/13 16:34 Mw6.2 H_35km VR74.64/3) 北西ー南東圧縮の逆断層
60) 択捉島付近 (01/13 17:51 Mw4.7 H_14km VR66.43/3) 北西ー南東圧縮の逆断層
61) 択捉島付近 (01/13 18:54 Mw4.5 H_14km VR71.10/3) 北西ー南東圧縮の逆断層
66) 根室半島南東沖 (01/15 07:13 Mw5.5 H_38km VR76.95/3) 北西ー南東圧縮の逆断層
73) 北海道北東沖 (01/15 15:12 Mw4.5 H360km VR61.19/3) 北北西ー南南東方向に圧縮軸を持つ型
78) 宗谷支庁南部 (01/16 10:56 Mw4.0 H_5km VR76.18/3) 北東ー南西圧縮の逆断層
82) 上川支庁北部 (01/17 00:39 Mw4.1 H_5km VR89.60/3) 東西圧縮の逆断層
95) 択捉島付近 (01/18 12:25 Mw4.1 H_11km VR59.19/3) 北西ー南東圧縮の逆断層
97) 釧路沖 (01/18 18:46 Mw4.5 H_26km VR87.10/3) 北西ー南東圧縮の逆断層
104) 宗谷支庁南部 (01/20 17:36 Mw4.1 H_5km VR72.29/3) 北東ー南西圧縮の逆断層
108) 宗谷支庁南部 (01/21 04:40 Mw4.1 H_5km VR76.96/3) 東北東ー西南西圧縮の逆断層
114) 十勝支庁南部 (01/23 10:06 Mw4.0 H_53km VR89.26/3) 西北西ー東南東圧縮の逆断層
131) 北海道北東沖 (01/27 11:12 Mw4.7 H360km VR93.67/3) 北西ー南東方向に圧縮軸を持つ型
132) 根室半島南東沖 (01/27 11:47 Mw4.8 H_29km VR88.09/3) 北東ー南西方向に圧縮軸を持つ型
135) 宗谷支庁南部 (01/28 10:53 Mw4.2 H_5km VR82.86/3) 東北東ー西南西圧縮の逆断層
136) 宗谷支庁南部 (01/28 15:34 Mw4.5 H_5km VR85.41/3) 東北東ー西南西圧縮の逆断層
138) 宗谷支庁南部 (01/29 00:42 Mw4.0 H_5km VR83.71/3) 西北西ー東南東圧縮の逆断層
144) 浦河沖 (01/29 23:13 Mw4.4 H_62km VR87.45/3) 西北西ー東南東圧縮の逆断層

・東北地方

1) 青森県東方沖 (01/01 01:30 Mw4.9 H_29km VR80.42/3) 西北西ー東南東圧縮の逆断層
10) 青森県東方沖 (01/04 21:43 Mw4.0 H_41km VR78.28/3) 北西ー南東圧縮の逆断層
17) 岩手県沖 (01/06 12:34 Mw4.1 H_41km VR76.60/3) 西北西ー東南東圧縮の逆断層
25) 青森県東方沖 (01/07 03:04 Mw4.9 H_50km VR90.33/3) 西北西ー東南東圧縮の逆断層
29) 青森県東方沖 (01/08 17:27 Mw4.2 H_44km VR72.33/3) 北西ー南東圧縮の逆断層

34) 秋田県内陸北部　(01/09 18:56 Mw4.3 H_5km VR76.95/3) 東西圧縮の逆断層
36) 秋田県内陸北部　(01/09 20:24 Mw4.1 H_5km VR75.23/3) 東西圧縮の逆断層
41) 岩手県沿岸北部　(01/11 13:15 Mw5.0 H_68km VR84.88/3) 西北西一東南東圧縮の逆断層
81) 三陸沖　(01/16 18:04 Mw4.5 H_17km VR81.41/3) 西北西一東南東圧縮の逆断層
83) 青森県東方沖　(01/17 04:34 Mw5.3 H_41km VR84.75/3) 西北西一東南東圧縮の逆断層
84) 青森県東方沖　(01/17 04:36 Mw4.6 H_26km VR72.01/3) 西北西一東南東方向に伸長軸を持つ型
103) 福島県沖　(01/20 14:03 Mw4.0 H_44km VR55.36/3) 東北東一西南西方向に圧縮軸を持つ型
106) 青森県東方沖　(01/21 02:51 Mw5.4 H_59km VR71.39/3) 西北西一東南東圧縮の逆断層
107) 三陸沖　(01/21 03:44 Mw4.2 H_14km VR76.62/3) 西北西一東南東圧縮の逆断層
113) 青森県東方沖　(01/22 23:31 Mw5.3 H_47km VR76.61/3) 南北伸張の正断層
128) 岩手県沖　(01/26 09:20 Mw4.3 H_53km VR94.71/3) 東西圧縮の逆断層
137) 岩手県沖　(01/28 19:45 Mw5.1 H_23km VR87.49/3) 西北西一東南東圧縮の逆断層
145) 三陸沖　(01/30 20:03 Mw4.3 H_17km VR88.18/3) 西北西一東南東圧縮の逆断層

・関東・中部地方

35) 千葉県東方沖　(01/09 20:07 Mw4.5 H_29km VR84.24/3) 北北西一南南東圧縮の逆断層
58) 石川県能登地方　(01/13 05:09 Mw4.1 H_8km VR92.51/3) 北北西一南南東圧縮の逆断層
63) 千葉県東方沖　(01/14 11:50 Mw4.1 H_29km VR79.86/3) 南北圧縮の逆断層
69) 富山県東部　(01/15 14:40 Mw4.8 H_11km VR85.20/3) 北西一南東圧縮の横ずれ断層
70) 富山県東部　(01/15 14:43 Mw4.5 H_11km VR88.87/3) 北西一南東圧縮の横ずれ断層
71) 富山県東部　(01/15 14:48 Mw5.1 H_8km VR87.78/3) 北西一南東圧縮の横ずれ断層
72) 富山県東部　(01/15 14:57 Mw4.0 H_8km VR61.62/3) 北西一南東圧縮の横ずれ断層
77) 岐阜県飛騨地方　(01/16 04:07 Mw4.1 H250km VR85.68/3) 南北伸張の正断層
98) 茨城県沖　(01/19 05:33 Mw4.1 H_20km VR80.75/3) 西北西一東南東方向に圧縮軸を持つ型
118) 茨城県北部　(01/24 06:19 Mw4.1 H_5km VR90.11/3) 北東一南西伸張の正断層
123) 茨城県南部　(01/25 11:46 Mw4.0 H_56km VR61.32/3) 北北西一南南東圧縮の逆断層
129) 駿河湾南方沖　(01/26 18:23 Mw4.0 H260km VR66.61/3) 南北圧縮の逆断層
140) 千葉県南部　(01/29 10:25 Mw4.5 H_26km VR70.19/3) 北西一南東圧縮の逆断層
141) 千葉県南部　(01/29 11:47 Mw4.1 H_26km VR69.57/3) 北西一南東圧縮の逆断層
147) 石川県能登地方　(01/31 02:11 Mw4.0 H_8km VR94.39/3) 北西一南東方向に圧縮軸を持つ型

・小笠原地方

11) 鳥島東方沖　(01/06 00:35 Mw4.2 H_8km VR61.94/3) 西北西一東南東圧縮の逆断層
42) 鳥島東方沖　(01/11 13:36 Mw4.3 H_5km VR76.02/3) 北北西一南南東圧縮の逆断層
53) 鳥島近海　(01/12 13:27 Mw4.2 H_53km VR75.14/3) 西北西一東南東方向に圧縮軸を持つ型
65) 鳥島東方沖　(01/14 22:26 Mw4.4 H_5km VR85.64/3) 北西一南東方向に圧縮軸を持つ型
86) 鳥島東方沖　(01/17 09:16 Mw5.0 H_5km VR78.01/3) 東北東一西南西圧縮の逆断層
124) 鳥島近海　(01/25 15:49 Mw4.9 H480km VR72.45/3) 西北西一東南東方向に圧縮軸を持つ型
149) 父島近海　(01/31 19:36 Mw4.7 H_5km VR82.77/3) 北東一南西方向に伸長軸を持つ型

・東海道沖

7) 東海道沖　(01/03 23:12 Mw4.2 H320km VR82.69/3) 東西圧縮の逆断層
102) 東海道沖　(01/20 01:30 Mw4.3 H_5km VR87.99/3) 北北西一南南東圧縮の逆断層

・中国・四国地方

14) 島根県東部　(01/06 10:18 Mw5.8 H_17km VR93.33/3) 西北西ー東南東圧縮の横ずれ断層

15) 島根県東部　(01/06 10:28 Mw4.8 H_14km VR70.81/3) 北西ー南東圧縮の横ずれ断層

16) 島根県東部　(01/06 10:37 Mw5.0 H_20km VR95.07/3) 西北西ー東南東圧縮の横ずれ断層

・九州地方

89) 鹿児島県薩摩地方　(01/17 17:37 Mw4.1 H_5km VR92.10/3) 北北西ー南南東伸張の正断層

127) 奄美大島近海　(01/26 06:55 Mw4.1 H150km VR66.49/3) 西北西ー東南東方向に圧縮軸を持つ型

・沖縄地方

8) 台湾付近　(01/04 04:52 Mw4.3 H_5km VR80.75/3) 北北西ー南南東方向に伸長軸を持つ型

30) 台湾付近　(01/08 19:26 Mw4.1 H_23km VR87.38/2) 北北東ー南南西圧縮の逆断層

46) 与那国島近海　(01/12 08:50 Mw4.1 H_14km VR93.13/2) 東北東ー西南西伸張の正断層

54) 台湾付近　(01/12 22:31 Mw4.7 H_80km VR91.07/3) 東西方向に圧縮軸を持つ型

62) 東シナ海　(01/13 22:07 Mw4.0 H_80km VR61.14/3) 北北東ー南南西圧縮の逆断層

79) 台湾付近　(01/16 12:09 Mw4.2 H_8km VR94.94/2) 北東ー南西方向に圧縮軸を持つ型

80) 台湾付近　(01/16 17:49 Mw4.5 H_5km VR74.63/2) 北北西ー南南東伸張の正断層

87) 台湾付近　(01/17 13:18 Mw4.4 H_29km VR80.95/3) 北北西ー南南東圧縮の逆断層

92) 台湾付近　(01/18 02:01 Mw4.7 H_17km VR91.59/3) 北北西ー南南東方向に伸長軸を持つ型

96) 台湾付近　(01/18 17:47 Mw4.8 H_14km VR91.56/3) 北北西ー南南東方向に伸長軸を持つ型

101) 台湾付近　(01/19 08:48 Mw4.2 H_41km VR75.86/2) 南北方向に圧縮軸を持つ型

117) 台湾付近　(01/23 14:41 Mw4.1 H_5km VR86.90/2) 北北東ー南南西方向に圧縮軸を持つ型

121) 台湾付近　(01/24 23:26 Mw4.0 H_17km VR88.84/2) 北北東ー南南西方向に圧縮軸を持つ型

130) 台湾付近　(01/27 03:48 Mw4.4 H_8km VR59.14/3) 北東ー南西方向に伸長軸を持つ型

---

*Mw4.0以上をリストアップ.

**下線部はMw5.0以上を示す.

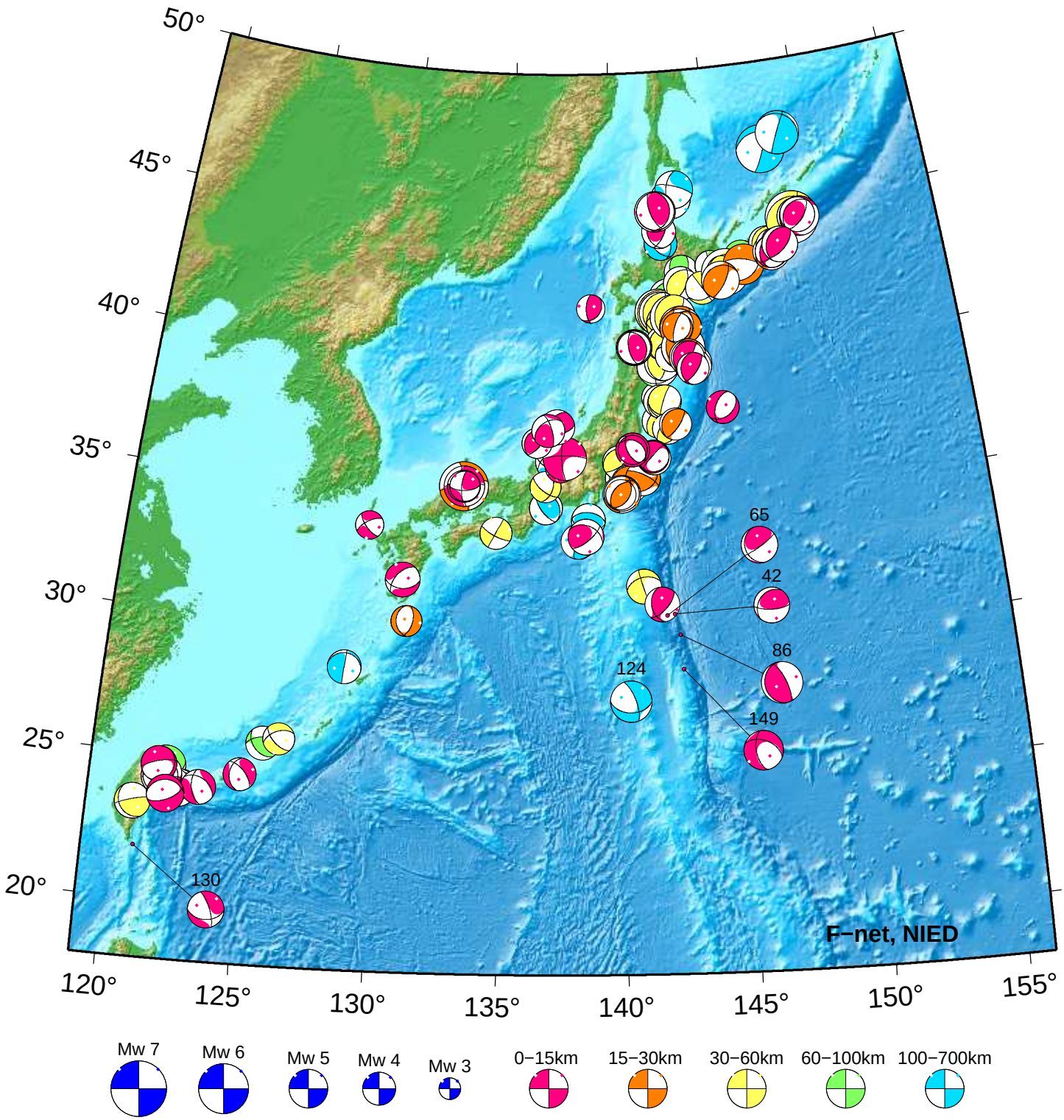
***”VR”欄の”/”の後の数は解析に使用した観測点数を示す.

****断層タイプの分類はFrohlich [1992]による.

謝辞　地形データは海上保安庁のものを使用させて頂きました. 記して感謝いたします.

NIED Moment Tensor Solutions

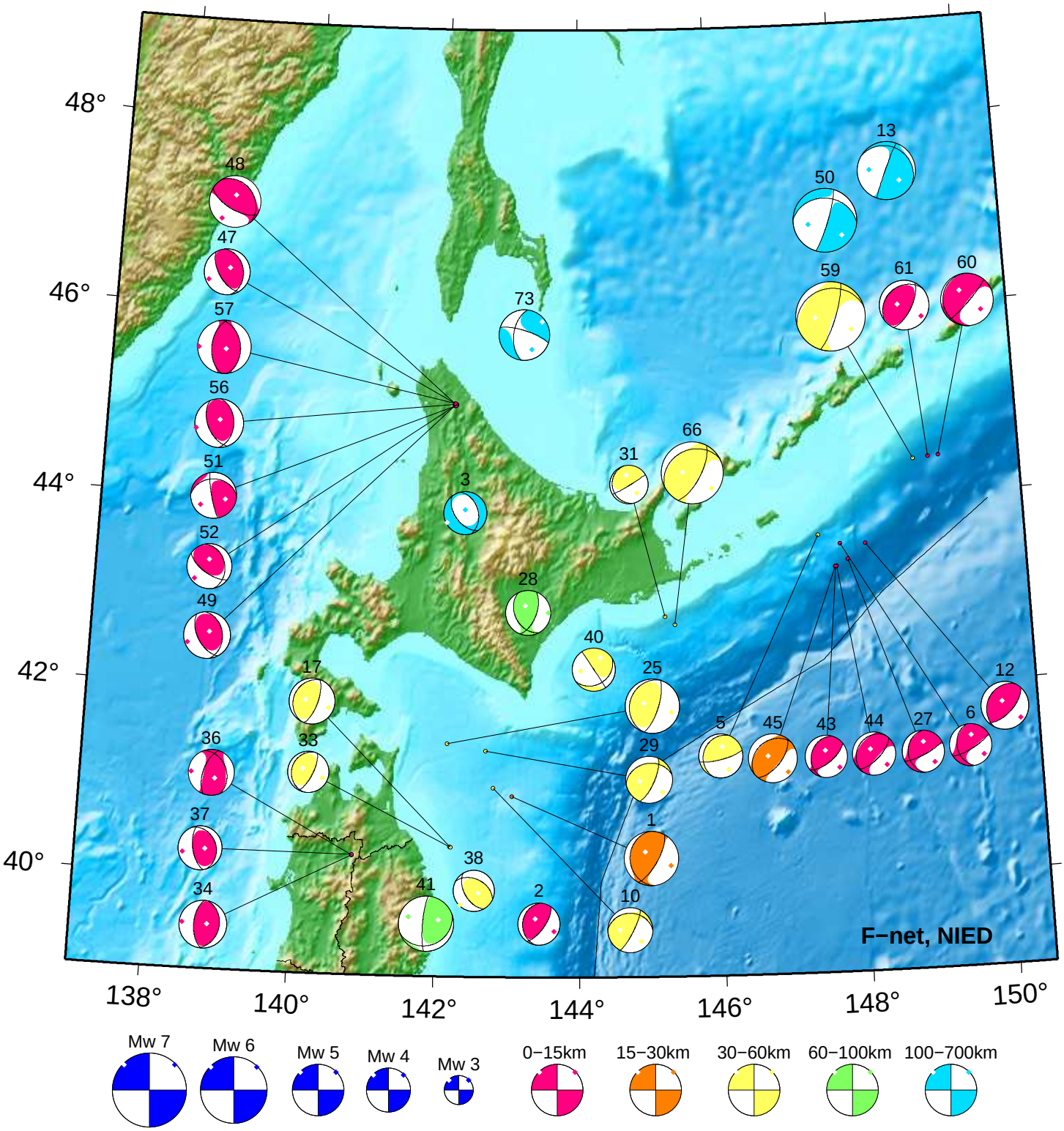
Jan 01,2026−Jan 31,2026(JST)



42. 01/11 13:36 Mw4.3 H__5km VR76.0
65. 01/14 22:26 Mw4.4 H__5km VR85.6
86. 01/17 09:16 Mw5.0 H__5km VR78.0
124. 01/25 15:49 Mw4.9 H480km VR72.5
130. 01/27 03:48 Mw4.4 H__8km VR59.1
149. 01/31 19:36 Mw4.7 H__5km VR82.8

Hokkaido

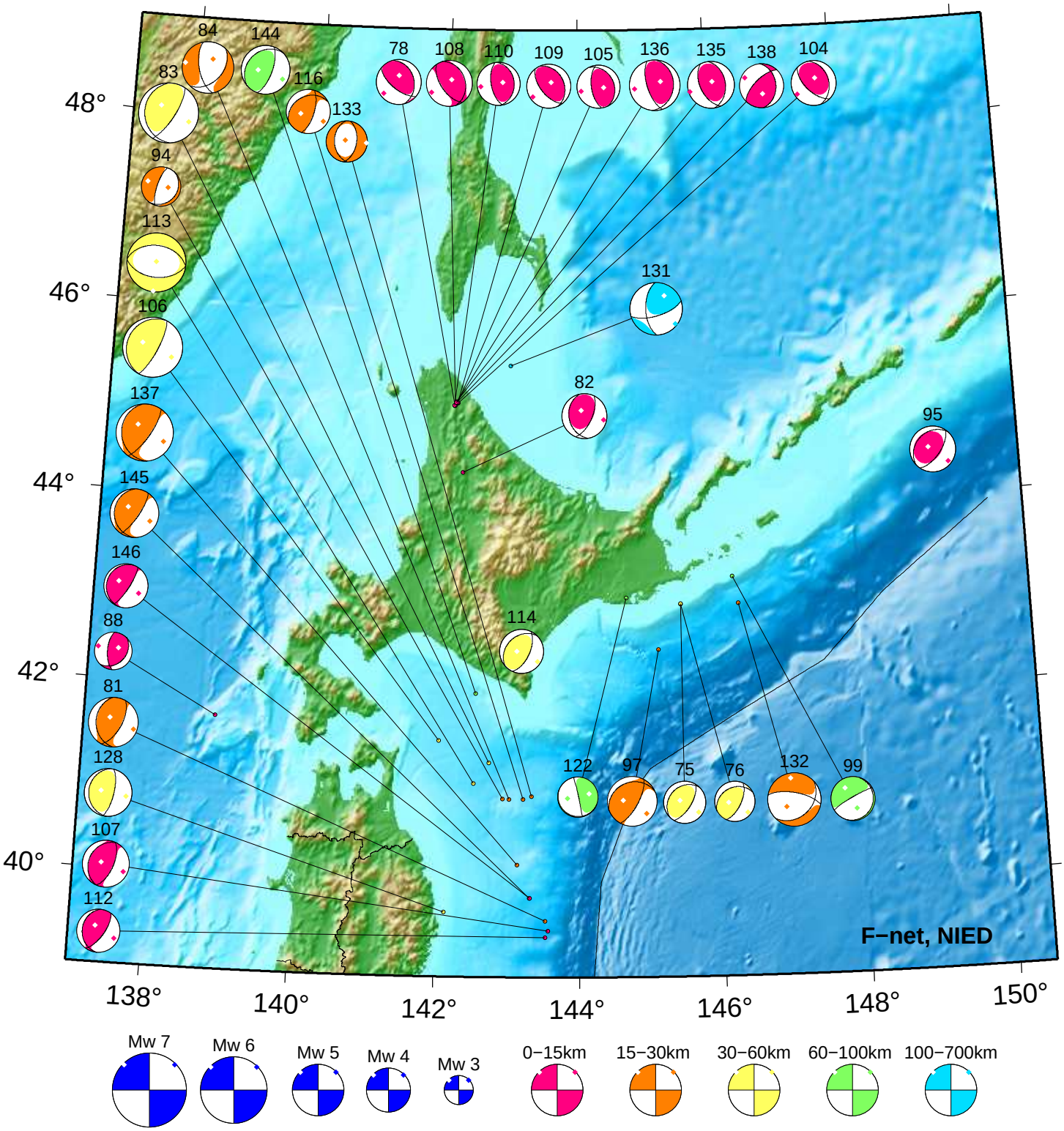
Jan 01,2026−Jan 15,2026(JST)



1. 01/01 01:30 Mw4.9 H_29km VR80.4
2. 01/01 21:46 Mw3.8 H_14km VR73.5
3. 01/02 00:56 Mw3.9 H185km VR86.6
5. 01/02 18:34 Mw3.9 H_41km VR75.1
6. 01/03 08:09 Mw3.8 H_14km VR57.6
10. 01/04 21:43 Mw4.0 H_41km VR78.3
12. 01/06 03:57 Mw4.3 H_11km VR65.8
13. 01/06 07:32 Mw5.2 H420km VR74.8
17. 01/06 12:34 Mw4.1 H_41km VR76.6
25. 01/07 03:04 Mw4.9 H_50km VR90.3
27. 01/08 04:22 Mw3.7 H_14km VR63.4
28. 01/08 13:01 Mw4.0 H_83km VR60.9
29. 01/08 17:27 Mw4.2 H_44km VR72.3
31. 01/09 01:07 Mw3.5 H_35km VR62.2
33. 01/09 14:59 Mw3.7 H_47km VR74.7
34. 01/09 18:56 Mw4.3 H__5km VR77.0
36. 01/09 20:24 Mw4.1 H__5km VR75.2
37. 01/09 20:35 Mw3.9 H__5km VR61.2
38. 01/10 03:11 Mw3.7 H_32km VR88.5
40. 01/11 09:48 Mw3.9 H_44km VR53.6
41. 01/11 13:15 Mw5.0 H_68km VR84.9
43. 01/12 02:06 Mw3.8 H_14km VR59.1
44. 01/12 02:14 Mw3.9 H_14km VR59.0
45. 01/12 02:35 Mw4.4 H_17km VR73.0
47. 01/12 09:48 Mw4.1 H__5km VR66.5
48. 01/12 09:50 Mw4.7 H__5km VR66.2
49. 01/12 09:58 Mw4.2 H__5km VR79.3
50. 01/12 10:52 Mw5.7 H440km VR77.9
51. 01/12 11:52 Mw4.1 H__5km VR72.7
52. 01/12 11:57 Mw4.1 H__5km VR69.1
56. 01/13 01:10 Mw4.4 H__5km VR78.2
57. 01/13 01:58 Mw4.8 H__5km VR81.2
59. 01/13 16:34 Mw6.2 H_35km VR74.6
60. 01/13 17:51 Mw4.7 H_14km VR66.4
61. 01/13 18:54 Mw4.5 H_14km VR71.1
66. 01/15 07:13 Mw5.5 H_38km VR77.0
73. 01/15 15:12 Mw4.5 H360km VR61.2

Hokkaido

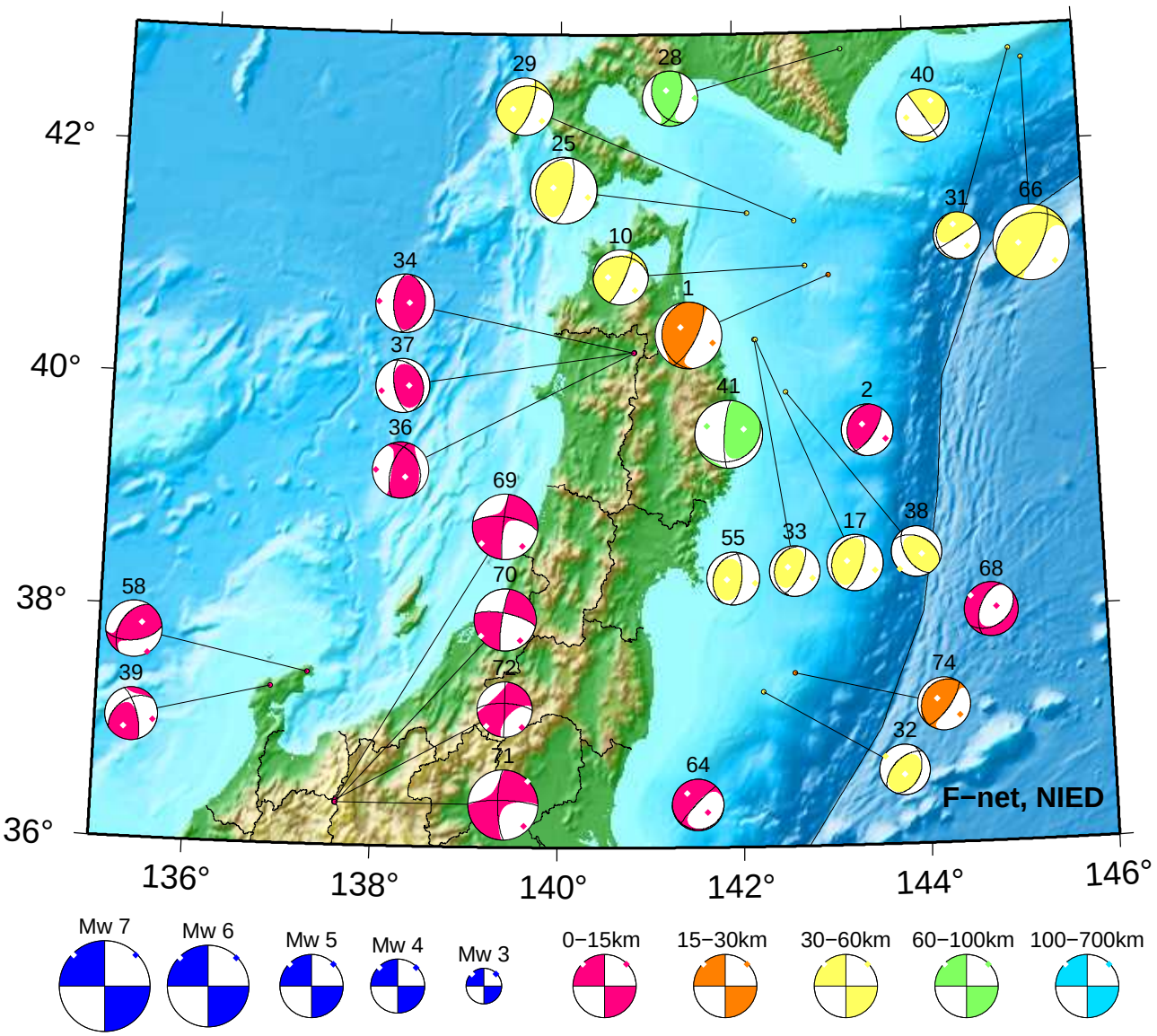
Jan 16,2026−Jan 31,2026(JST)



75. 01/16 02:58 Mw3.8 H_41km VR81.7
76. 01/16 03:16 Mw3.6 H_44km VR70.0
78. 01/16 10:56 Mw4.0 H__5km VR76.2
81. 01/16 18:04 Mw4.5 H_17km VR81.4
82. 01/17 00:39 Mw4.1 H__5km VR89.6
83. 01/17 04:34 Mw5.3 H_41km VR84.8
84. 01/17 04:36 Mw4.6 H_26km VR72.0
88. 01/17 15:37 Mw3.4 H_11km VR62.8
94. 01/18 07:42 Mw3.6 H_17km VR79.1
95. 01/18 12:25 Mw4.1 H_11km VR59.2
97. 01/18 18:46 Mw4.5 H_26km VR87.1
99. 01/19 07:41 Mw3.9 H_71km VR91.9
104. 01/20 17:36 Mw4.1 H__5km VR72.3
105. 01/20 18:17 Mw3.8 H__5km VR58.4
106. 01/21 02:51 Mw5.4 H_59km VR71.4
107. 01/21 03:44 Mw4.2 H_14km VR76.6
108. 01/21 04:40 Mw4.1 H__5km VR77.0
109. 01/21 09:34 Mw3.9 H__5km VR72.8
110. 01/21 09:44 Mw3.8 H__5km VR77.8
112. 01/22 16:10 Mw3.9 H_14km VR76.0
113. 01/22 23:31 Mw5.3 H_47km VR76.6
114. 01/23 10:06 Mw4.0 H_53km VR89.3
116. 01/23 13:09 Mw3.9 H_29km VR63.7
122. 01/25 06:04 Mw3.6 H_62km VR74.1
128. 01/26 09:20 Mw4.3 H_53km VR94.7
131. 01/27 11:12 Mw4.7 H360km VR93.7
132. 01/27 11:47 Mw4.8 H_29km VR88.1
133. 01/28 03:52 Mw3.7 H_23km VR64.8
135. 01/28 10:53 Mw4.2 H__5km VR82.9
136. 01/28 15:34 Mw4.5 H__5km VR85.4
137. 01/28 19:45 Mw5.1 H_23km VR87.5
138. 01/29 00:42 Mw4.0 H__5km VR83.7
144. 01/29 23:13 Mw4.4 H_62km VR87.5
145. 01/30 20:03 Mw4.3 H_17km VR88.2
146. 01/30 20:35 Mw3.9 H_14km VR69.7

Tohoku

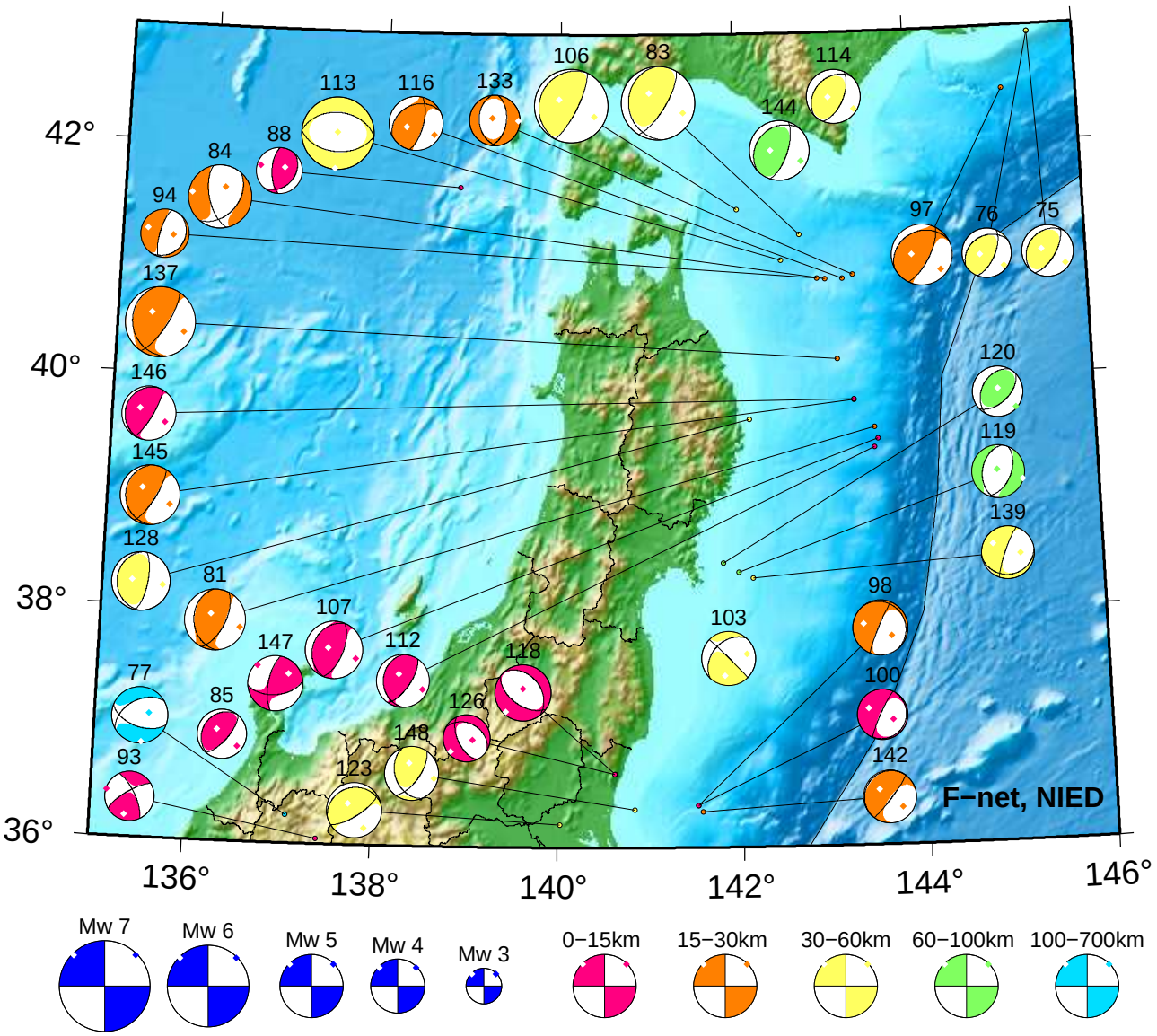
Jan 01,2026−Jan 15,2026(JST)



1. 01/01 01:30 Mw4.9 H_29km VR80.4
2. 01/01 21:46 Mw3.8 H_14km VR73.5
10. 01/04 21:43 Mw4.0 H_41km VR78.3
17. 01/06 12:34 Mw4.1 H_41km VR76.6
25. 01/07 03:04 Mw4.9 H_50km VR90.3
28. 01/08 13:01 Mw4.0 H_83km VR60.9
29. 01/08 17:27 Mw4.2 H_44km VR72.3
31. 01/09 01:07 Mw3.5 H_35km VR62.2
32. 01/09 01:29 Mw3.7 H_35km VR57.6
33. 01/09 14:59 Mw3.7 H_47km VR74.7
34. 01/09 18:56 Mw4.3 H__5km VR77.0
36. 01/09 20:24 Mw4.1 H__5km VR75.2
37. 01/09 20:35 Mw3.9 H__5km VR61.2
38. 01/10 03:11 Mw3.7 H_32km VR88.5
39. 01/10 11:22 Mw3.9 H__5km VR89.2
40. 01/11 09:48 Mw3.9 H_44km VR53.6
41. 01/11 13:15 Mw5.0 H_68km VR84.9
55. 01/13 00:02 Mw3.9 H_41km VR67.5
58. 01/13 05:09 Mw4.1 H__8km VR92.5
64. 01/14 18:12 Mw3.8 H__5km VR62.4
66. 01/15 07:13 Mw5.5 H_38km VR77.0
68. 01/15 10:14 Mw3.9 H__5km VR69.5
69. 01/15 14:40 Mw4.8 H_11km VR85.2
70. 01/15 14:43 Mw4.5 H_11km VR88.9
71. 01/15 14:48 Mw5.1 H__8km VR87.8
72. 01/15 14:57 Mw4.0 H__8km VR61.6
74. 01/15 23:44 Mw3.8 H_23km VR87.8

Tohoku

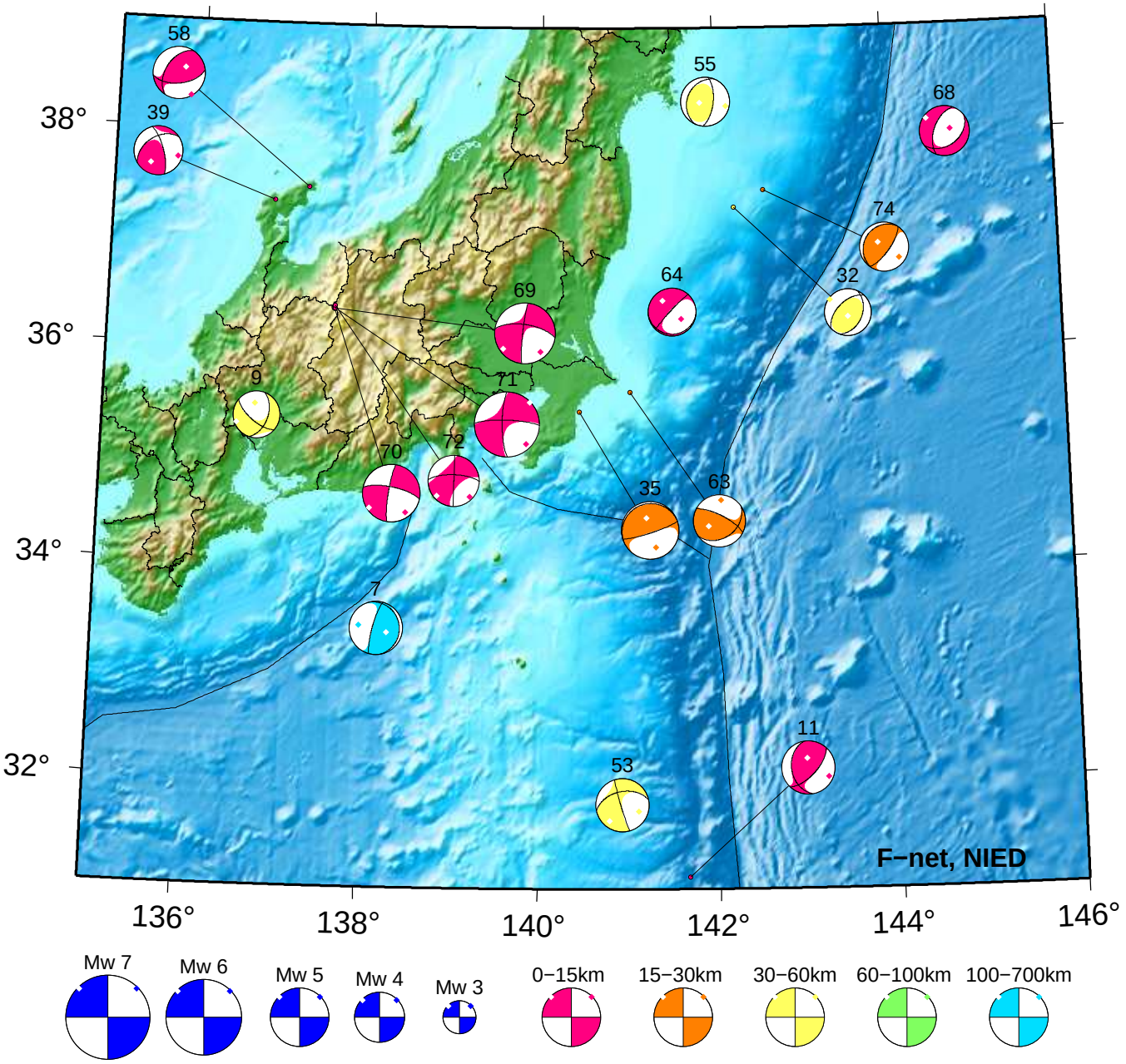
Jan 16,2026−Jan 31,2026(JST)



75. 01/16 02:58 Mw3.8 H_41km VR81.7
76. 01/16 03:16 Mw3.6 H_44km VR70.0
77. 01/16 04:07 Mw4.1 H250km VR85.7
81. 01/16 18:04 Mw4.5 H_17km VR81.4
83. 01/17 04:34 Mw5.3 H_41km VR84.8
84. 01/17 04:36 Mw4.6 H_26km VR72.0
85. 01/17 08:27 Mw3.6 H__5km VR67.7
88. 01/17 15:37 Mw3.4 H_11km VR62.8
93. 01/18 03:46 Mw3.6 H__8km VR81.6
94. 01/18 07:42 Mw3.6 H_17km VR79.1
97. 01/18 18:46 Mw4.5 H_26km VR87.1
98. 01/19 05:33 Mw4.1 H_20km VR80.8
100. 01/19 07:49 Mw3.7 H_11km VR68.6
103. 01/20 14:03 Mw4.0 H_44km VR55.4
106. 01/21 02:51 Mw5.4 H_59km VR71.4
107. 01/21 03:44 Mw4.2 H_14km VR76.6
112. 01/22 16:10 Mw3.9 H_14km VR76.0
113. 01/22 23:31 Mw5.3 H_47km VR76.6
114. 01/23 10:06 Mw4.0 H_53km VR89.3
116. 01/23 13:09 Mw3.9 H_29km VR63.7
118. 01/24 06:19 Mw4.1 H__5km VR90.1
119. 01/24 18:00 Mw3.9 H_77km VR55.1
120. 01/24 20:52 Mw3.7 H_68km VR85.5
123. 01/25 11:46 Mw4.0 H_56km VR61.3
126. 01/26 06:30 Mw3.4 H__5km VR64.1
128. 01/26 09:20 Mw4.3 H_53km VR94.7
133. 01/28 03:52 Mw3.7 H_23km VR64.8
137. 01/28 19:45 Mw5.1 H_23km VR87.5
139. 01/29 03:29 Mw3.9 H_38km VR90.5
142. 01/29 14:01 Mw3.9 H_20km VR72.6
144. 01/29 23:13 Mw4.4 H_62km VR87.5
145. 01/30 20:03 Mw4.3 H_17km VR88.2
146. 01/30 20:35 Mw3.9 H_14km VR69.7
147. 01/31 02:11 Mw4.0 H__8km VR94.4
148. 01/31 03:47 Mw3.9 H_41km VR66.3

Kanto−Chubu

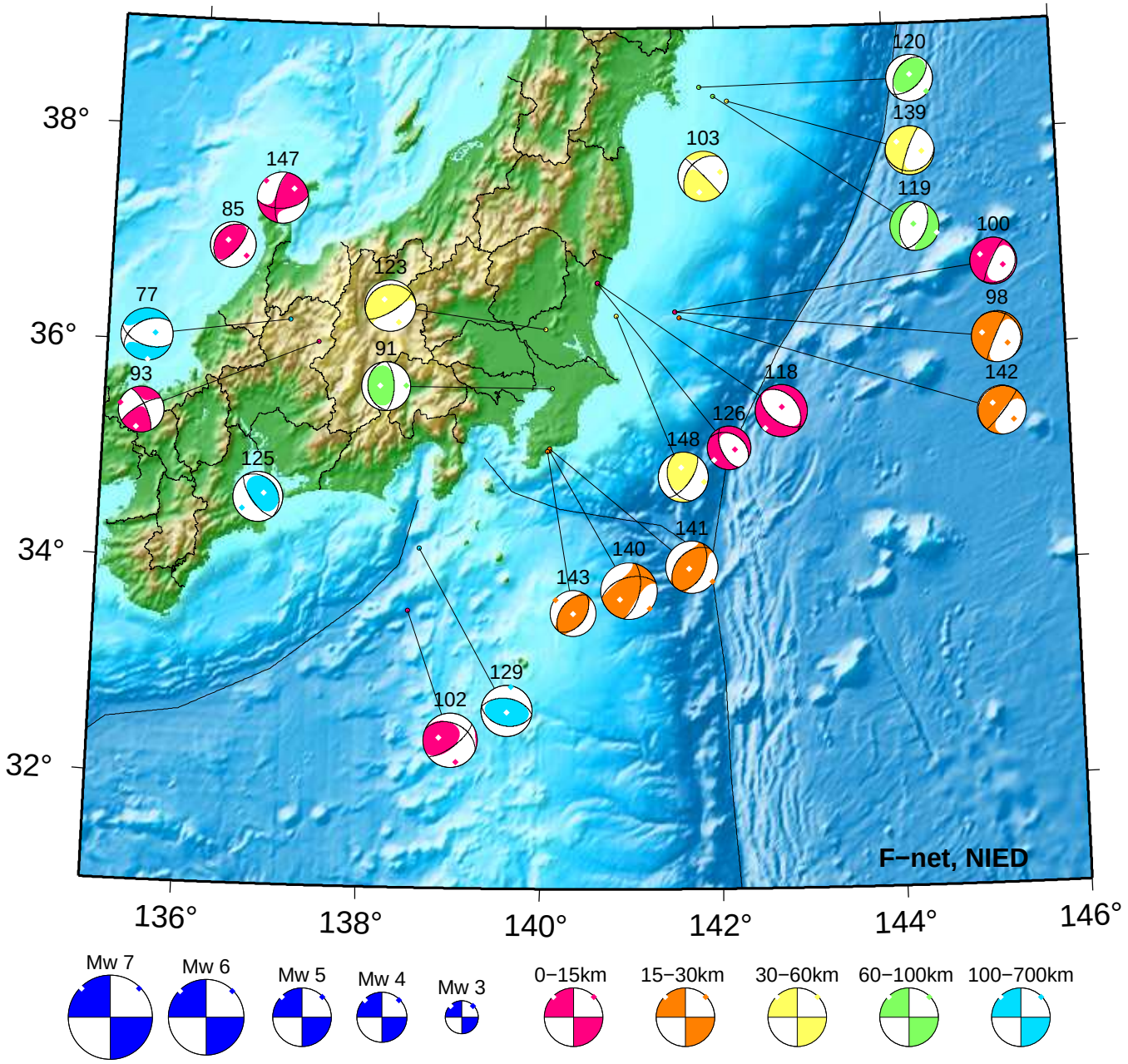
Jan 01,2026−Jan 15,2026(JST)



7. 01/03 23:12 Mw4.2 H320km VR82.7
9. 01/04 18:16 Mw3.7 H_38km VR67.4
11. 01/06 00:35 Mw4.2 H__8km VR61.9
32. 01/09 01:29 Mw3.7 H_35km VR57.6
35. 01/09 20:07 Mw4.5 H_29km VR84.2
39. 01/10 11:22 Mw3.9 H__5km VR89.2
53. 01/12 13:27 Mw4.2 H_53km VR75.1
55. 01/13 00:02 Mw3.9 H_41km VR67.5
58. 01/13 05:09 Mw4.1 H__8km VR92.5
63. 01/14 11:50 Mw4.1 H_29km VR79.9
64. 01/14 18:12 Mw3.8 H__5km VR62.4
68. 01/15 10:14 Mw3.9 H__5km VR69.5
69. 01/15 14:40 Mw4.8 H_11km VR85.2
70. 01/15 14:43 Mw4.5 H_11km VR88.9
71. 01/15 14:48 Mw5.1 H__8km VR87.8
72. 01/15 14:57 Mw4.0 H__8km VR61.6
74. 01/15 23:44 Mw3.8 H_23km VR87.8

Kanto−Chubu

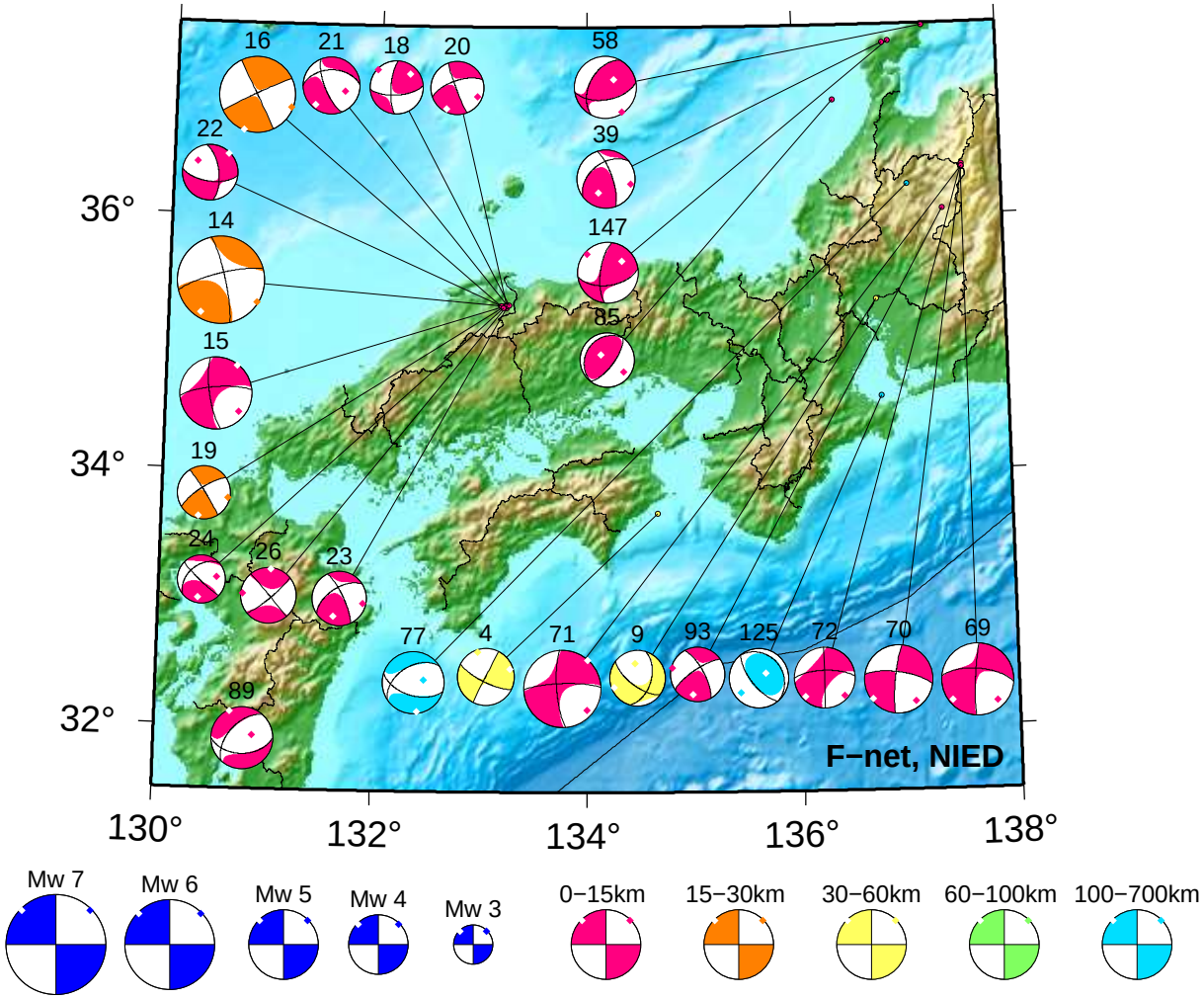
Jan 16,2026−Jan 31,2026(JST)



77. 01/16 04:07 Mw4.1 H250km VR85.7
85. 01/17 08:27 Mw3.6 H__5km VR67.7
91. 01/18 01:49 Mw3.9 H_68km VR89.8
93. 01/18 03:46 Mw3.6 H__8km VR81.6
98. 01/19 05:33 Mw4.1 H_20km VR80.8
100. 01/19 07:49 Mw3.7 H_11km VR68.6
102. 01/20 01:30 Mw4.3 H__5km VR88.0
103. 01/20 14:03 Mw4.0 H_44km VR55.4
118. 01/24 06:19 Mw4.1 H__5km VR90.1
119. 01/24 18:00 Mw3.9 H_77km VR55.1
120. 01/24 20:52 Mw3.7 H_68km VR85.5
123. 01/25 11:46 Mw4.0 H_56km VR61.3
125. 01/25 21:31 Mw3.9 H340km VR56.0
126. 01/26 06:30 Mw3.4 H__5km VR64.1
129. 01/26 18:23 Mw4.0 H260km VR66.6
139. 01/29 03:29 Mw3.9 H_38km VR90.5
140. 01/29 10:25 Mw4.5 H_26km VR70.2
141. 01/29 11:47 Mw4.1 H_26km VR69.6
142. 01/29 14:01 Mw3.9 H_20km VR72.6
143. 01/29 22:23 Mw3.6 H_26km VR72.1
147. 01/31 02:11 Mw4.0 H__8km VR94.4
148. 01/31 03:47 Mw3.9 H_41km VR66.3

Kinki−Chugoku−Shikoku

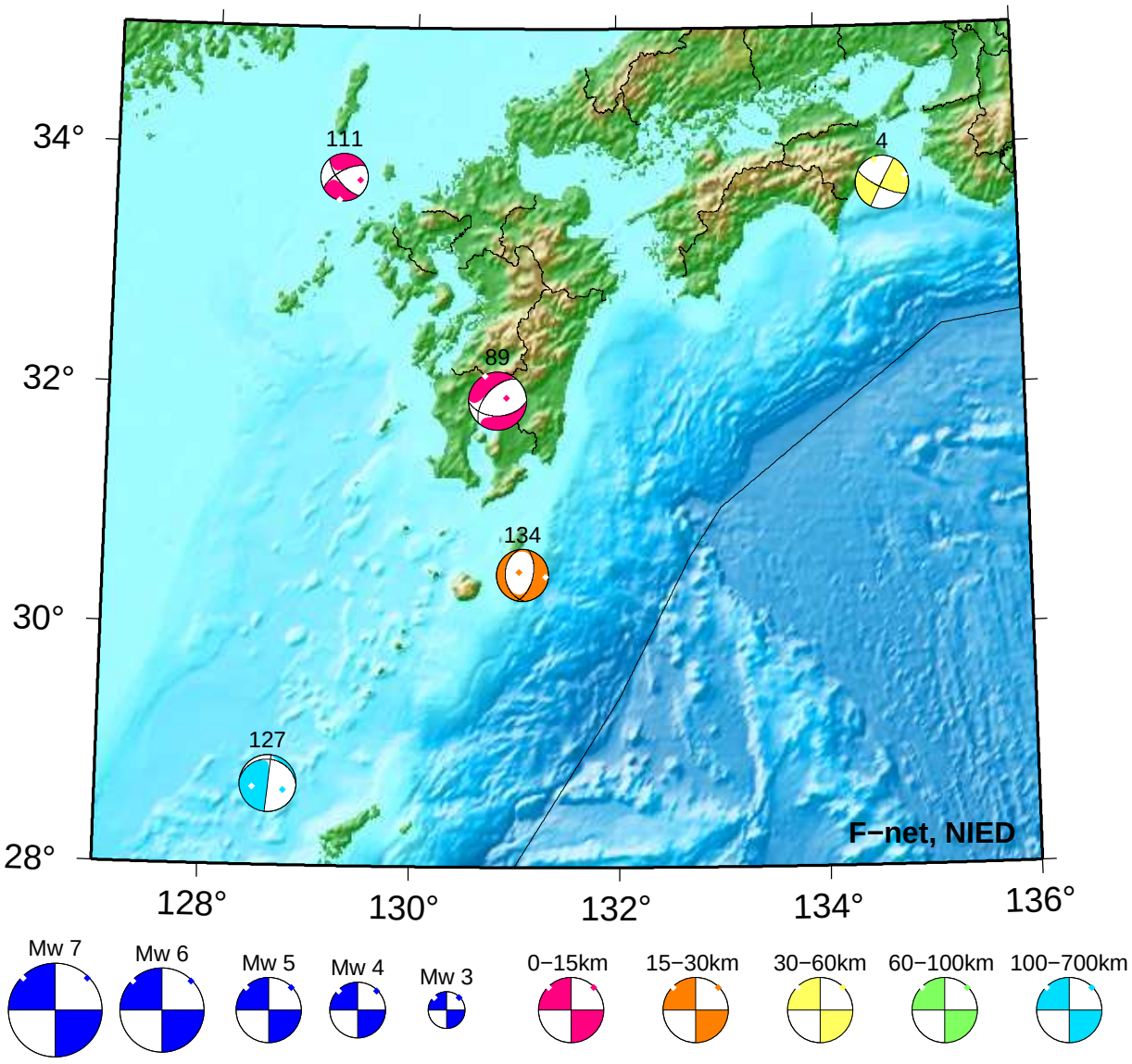
Jan 01,2026−Jan 31,2026(JST)



4. 01/02 07:49 Mw3.8 H_41km VR88.0
9. 01/04 18:16 Mw3.7 H_38km VR67.4
14. 01/06 10:18 Mw5.8 H_17km VR93.3
15. 01/06 10:28 Mw4.8 H_14km VR70.8
16. 01/06 10:37 Mw5.0 H_20km VR95.1
18. 01/06 12:43 Mw3.5 H__5km VR67.5
19. 01/06 15:38 Mw3.6 H_17km VR91.4
20. 01/06 19:21 Mw3.5 H_11km VR88.6
21. 01/06 19:53 Mw3.8 H__8km VR63.7
22. 01/06 22:23 Mw3.7 H__5km VR93.3
23. 01/07 00:20 Mw3.6 H__8km VR86.5
24. 01/07 01:15 Mw3.2 H__5km VR61.5
26. 01/07 18:39 Mw3.7 H__8km VR95.2
39. 01/10 11:22 Mw3.9 H__5km VR89.2
58. 01/13 05:09 Mw4.1 H__8km VR92.5
69. 01/15 14:40 Mw4.8 H_11km VR85.2
70. 01/15 14:43 Mw4.5 H_11km VR88.9
71. 01/15 14:48 Mw5.1 H__8km VR87.8
72. 01/15 14:57 Mw4.0 H__8km VR61.6
77. 01/16 04:07 Mw4.1 H250km VR85.7
85. 01/17 08:27 Mw3.6 H__5km VR67.7
89. 01/17 17:37 Mw4.1 H__5km VR92.1
93. 01/18 03:46 Mw3.6 H__8km VR81.6
125. 01/25 21:31 Mw3.9 H340km VR56.0
147. 01/31 02:11 Mw4.0 H__8km VR94.4

Kyushu

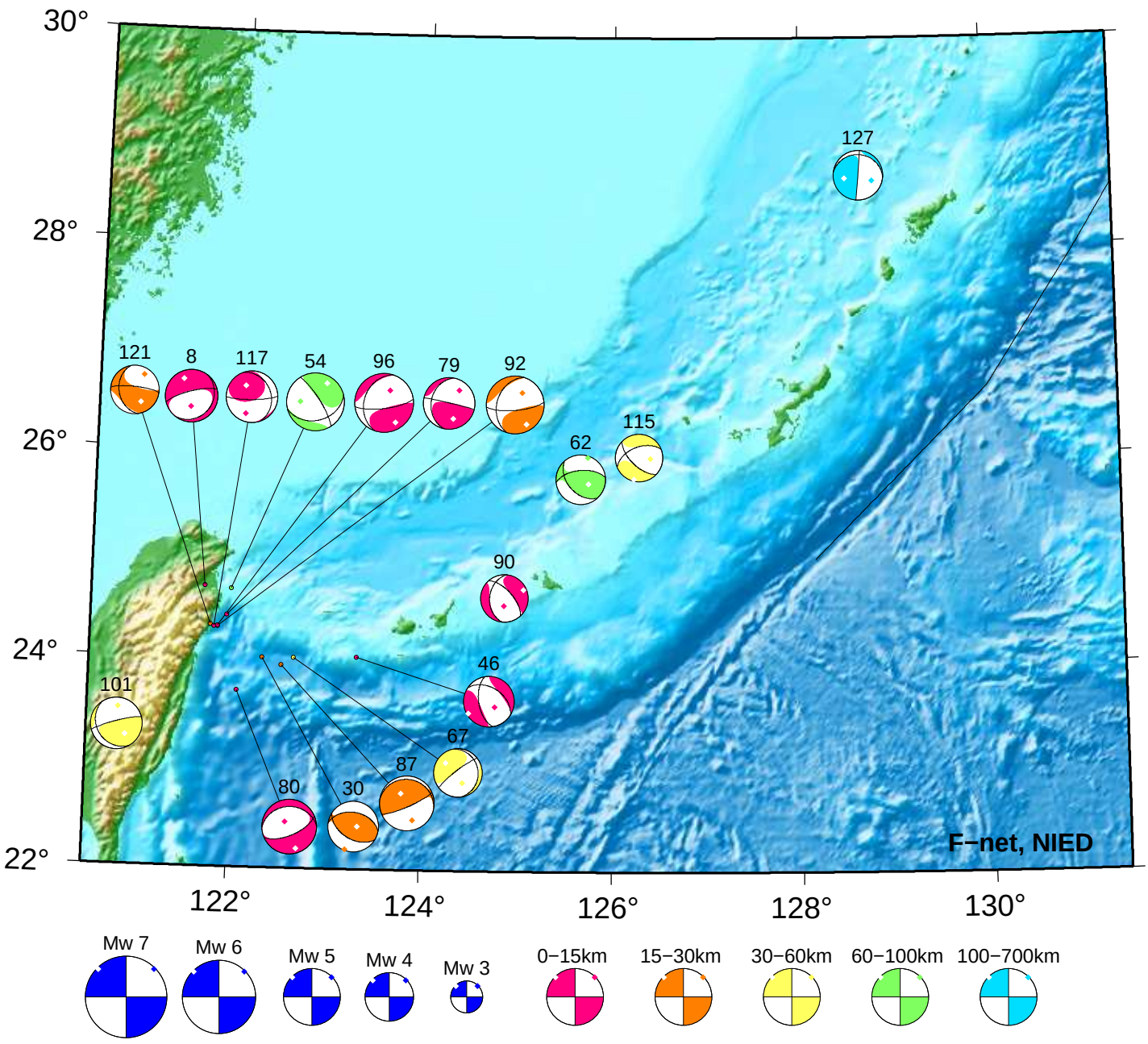
Jan 01,2026−Jan 31,2026(JST)



4. 01/02 07:49 Mw3.8 H_41km VR88.0
89. 01/17 17:37 Mw4.1 H__5km VR92.1
111. 01/22 15:49 Mw3.4 H__8km VR56.1
127. 01/26 06:55 Mw4.1 H150km VR66.5
134. 01/28 07:26 Mw3.7 H_20km VR67.4

Okinawa

Jan 01,2026−Jan 31,2026(JST)



8. 01/04 04:52 Mw4.3 H__5km VR80.8
30. 01/08 19:26 Mw4.1 H_23km VR87.4
46. 01/12 08:50 Mw4.1 H_14km VR93.1
54. 01/12 22:31 Mw4.7 H_80km VR91.1
62. 01/13 22:07 Mw4.0 H_80km VR61.1
67. 01/15 10:02 Mw3.9 H_50km VR73.1
79. 01/16 12:09 Mw4.2 H__8km VR94.9
80. 01/16 17:49 Mw4.5 H__5km VR74.6
87. 01/17 13:18 Mw4.4 H_29km VR81.0
90. 01/17 21:36 Mw3.9 H__8km VR77.3
92. 01/18 02:01 Mw4.7 H_17km VR91.6
96. 01/18 17:47 Mw4.8 H_14km VR91.6
101. 01/19 08:48 Mw4.2 H_41km VR75.9
115. 01/23 12:02 Mw3.8 H_59km VR57.1
117. 01/23 14:41 Mw4.1 H__5km VR86.9
121. 01/24 23:26 Mw4.0 H_17km VR88.8
127. 01/26 06:55 Mw4.1 H150km VR66.5

紀伊半島・東海地域の深部低周波微動活動状況
（2026 年 1 月）

● 顕著な活動は，とくにみられなかった．

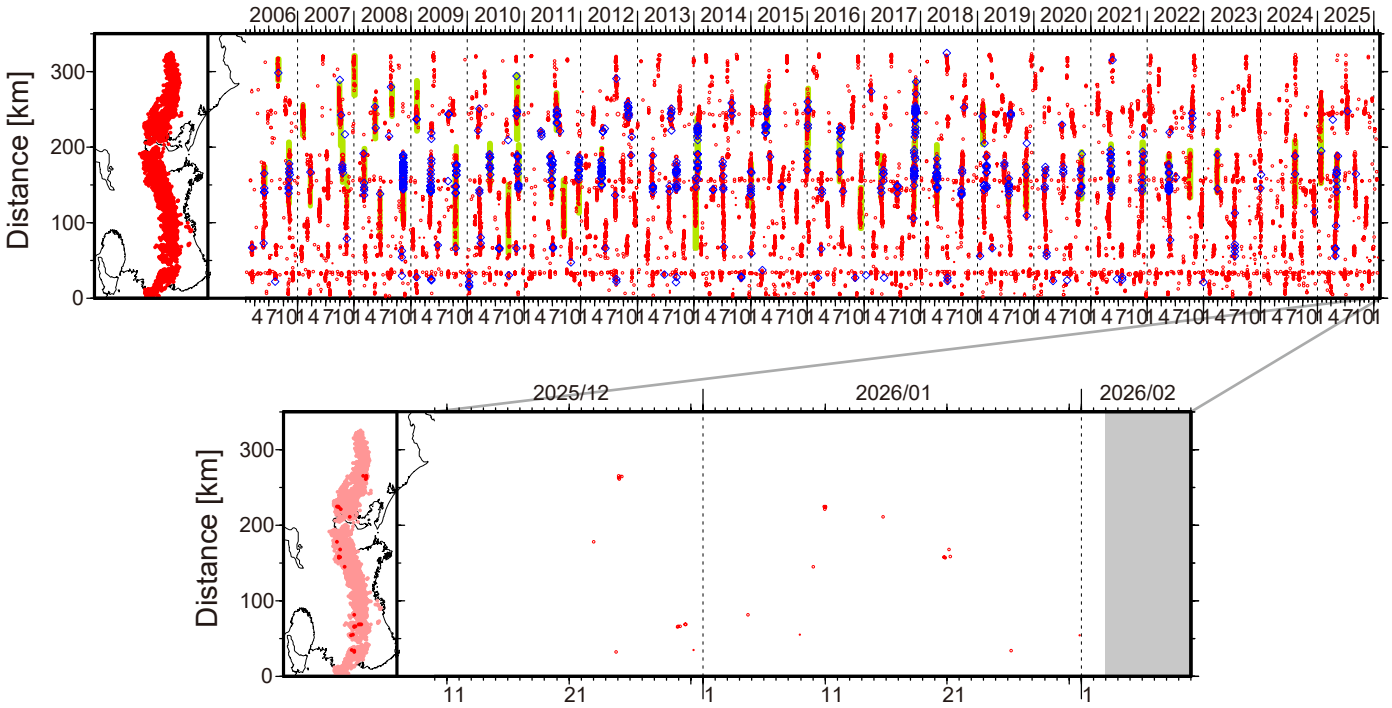


図 1．紀伊半島･東海地域における 2006 年 2 月～2026 年 2 月 2 日までの深部低周波微動の時空間分布（上図）．赤丸はエンベロープ相関・振幅ハイブリッド法 (Maeda and Obara, 2009) およびクラスタ処理 (Obara et al., 2010) によって 1 時間毎に自動処理された微動分布の重心である．青菱形は周期 20 秒に卓越する超低周波地震 (Ito et al., 2007) である．黄緑色の太線はこれまでに検出された短期的スロースリップイベント (SSE) を示す．下図は 2026 年 1 月を中心とした期間の拡大図である．この期間において顕著な活動はとくにみられなかったものの，1 月 10 ～ 11 日頃には愛知県西部において，1 月 20 ～ 21 日頃には三重県北部において，それぞれごく小規模な活動がみられた．

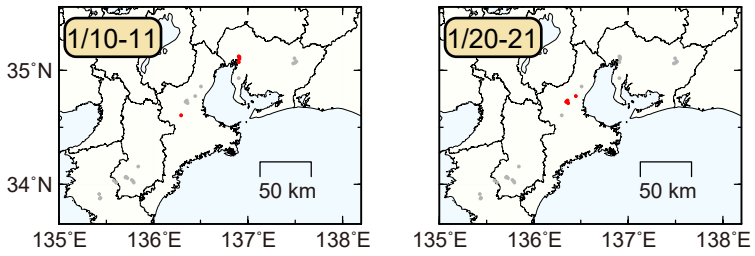


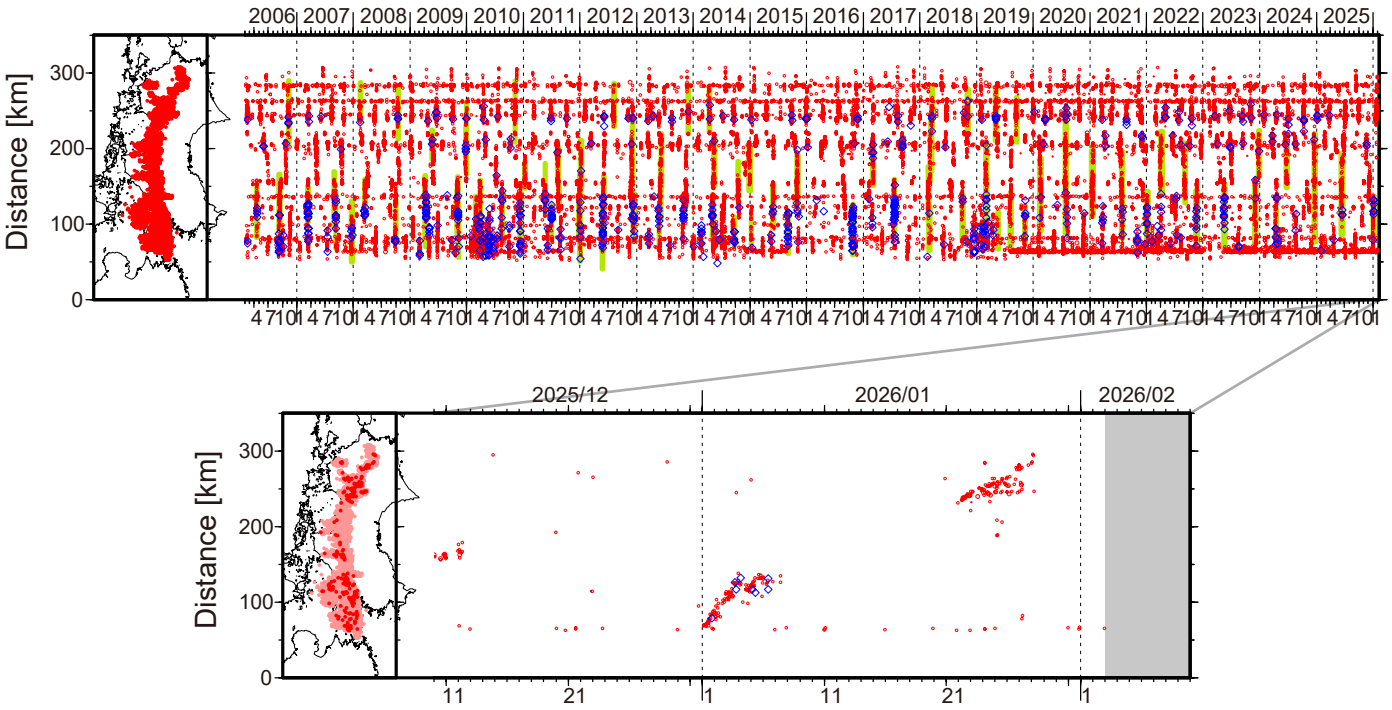
図 2．各期間に発生した微動（赤丸）．灰丸は，図 1 の拡大図で示した期間における微動分布を示す．

防災科学技術研究所資料

四国の深部低周波微動活動状況　（2026 年 1 月）

防災科研 NIED　MOWLAS

- 1 月 1 ～ 7 日頃に豊後水道から四国西部において，活発な微動活動.
- 1 月 21 ～ 28 日頃に四国中部から東部において，活発な微動活動.


2006 2007 2008 2009 2010 2011 2012 2013 2014 2015 2016 2017 2018 2019 2020 2021 2022 2023 2024 2025
Distance [km]
300
200
100
0
4 7 10 1 4 7 10 1 4 7 10 1

四国西部の短期的スロースリップ活動状況（2026年1月）

MOWLAS NIED 防災科研

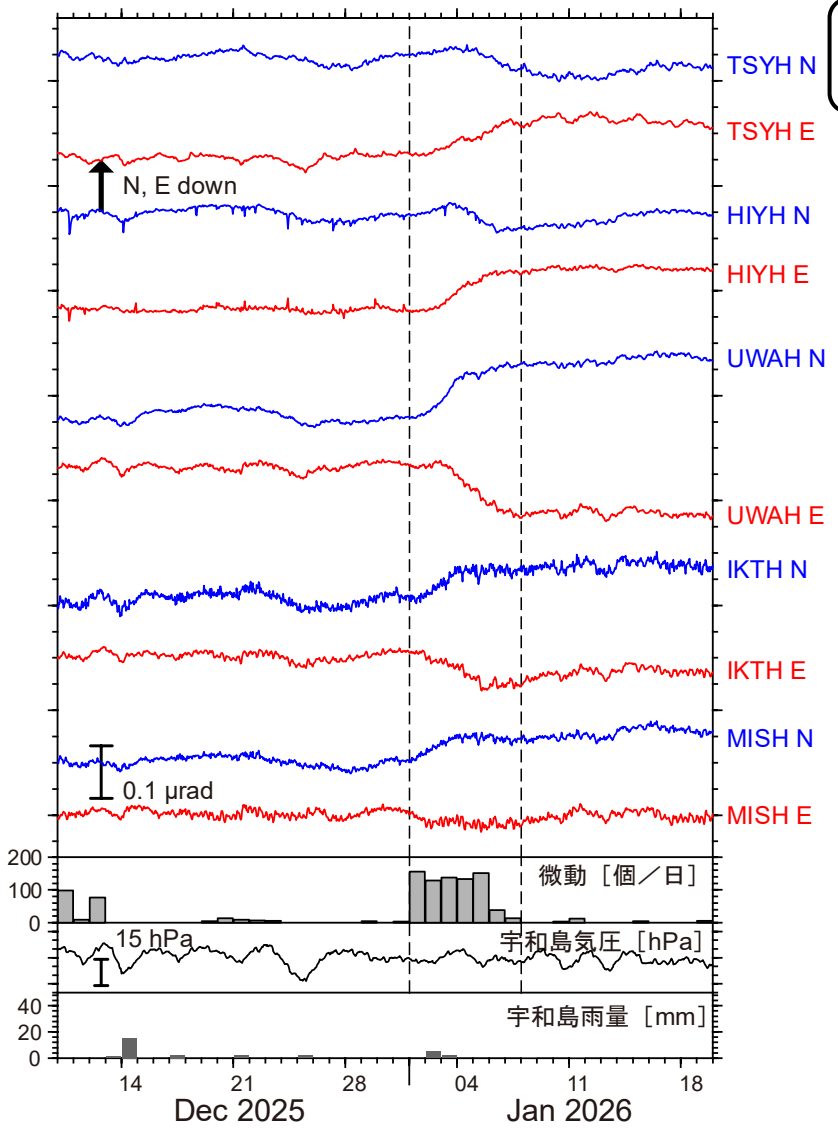


図1：2025年12月10日～2026年1月19日の傾斜時系列．上方向への変化が北・東下がりの傾斜変動を表し，BAYTAP-Gにより潮汐・気圧応答成分を除去した．1月1日～7日の傾斜変化ベクトルを図2に示す．四国西部での微動活動度・気象庁宇和島観測点の気圧・雨量を合わせて示す．

・四国西部を活動域とするスロースリップイベント（M_W5.9）
・2025年6月（M_W6.3）以来約6ヶ月ぶり

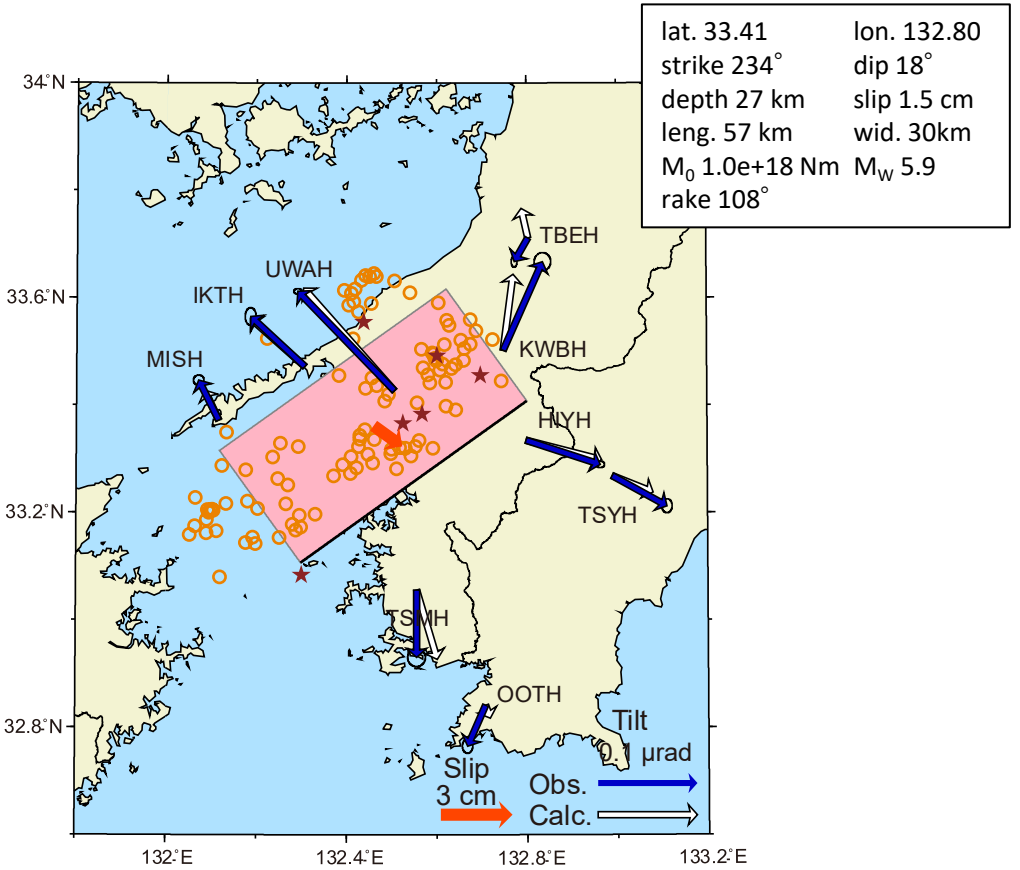
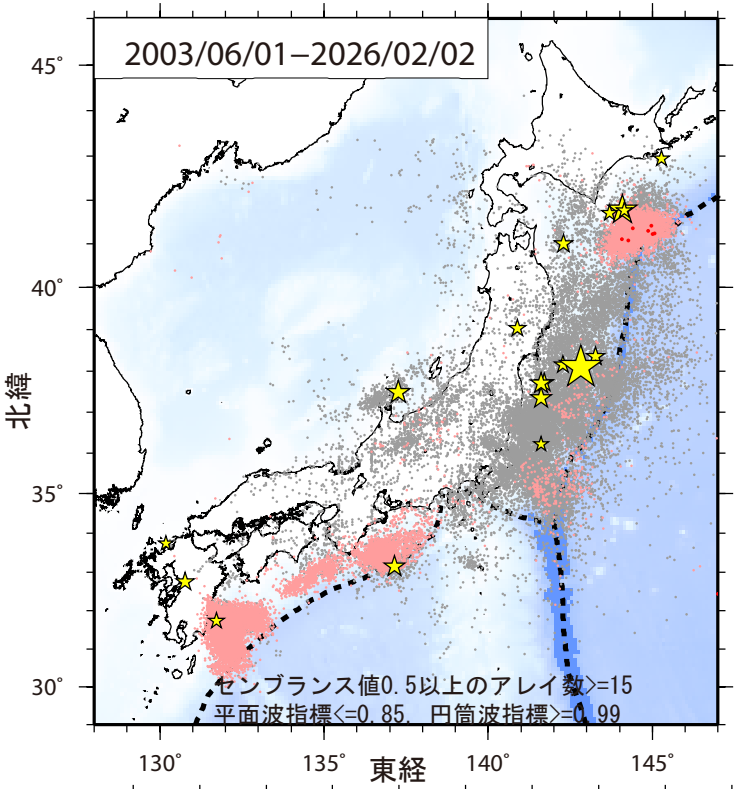


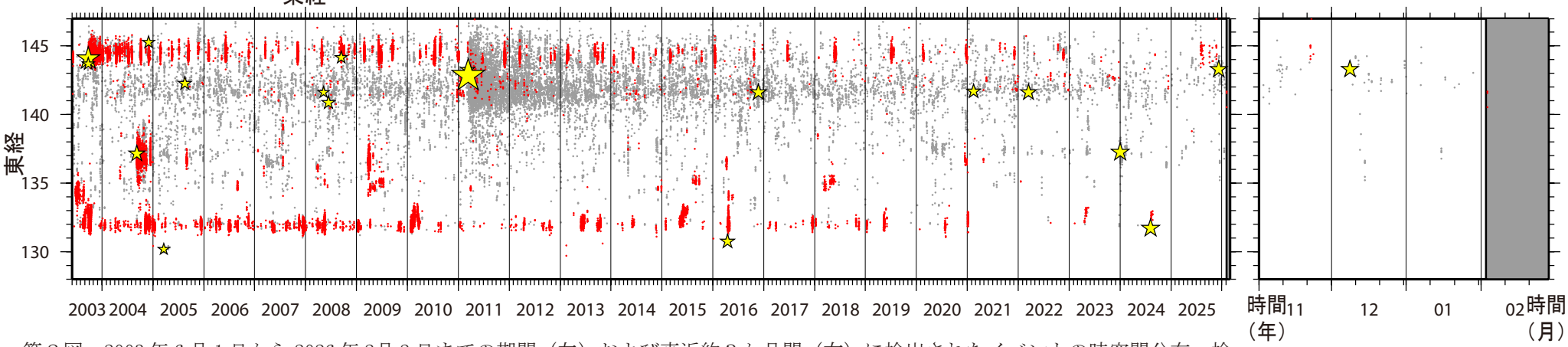
図2：1月1日～7日に観測された傾斜変化ベクトル（青矢印），推定されたスロースリップイベントの断層モデル（赤矩形・矢印），モデルから計算される傾斜変化ベクトル（白抜き矢印）を示す．1時間毎の微動エネルギーの重心位置（橙丸），深部超低周波地震（茶星印）も合わせて示す．すべり角はプレート相対運動方向に固定している．

謝辞
気象庁のWebページで公開されている気象データを使用させていただきました．記して感謝いたします．

日本周辺における浅部超低周波地震活動（2025年11月～2026年1月）

防災科研 NIED　MOWLAS





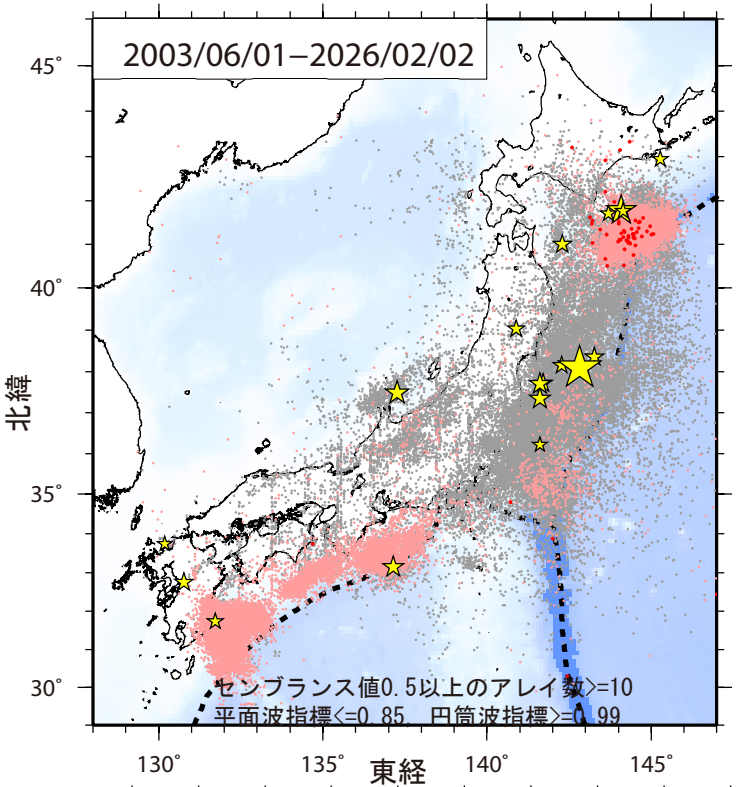
●通常の検出基準の下で，期間内に目立った超低周波地震活動は検出されなかった（第１図，第２図）
●検出基準を緩めた場合，12月8日の青森県東方沖の地震の発生後に超低周波地震活動を検出した（第３図，第４図）

第１図．2003年６月１日から2026年２月２日までの期間にアレイ解析によって検出されたイベントの震央分布．検出イベントを防災科研 Hi-net の手動または自動験測震源と照合し，対応する地震が見出されたイベントを灰色で，それ以外を桃色（2025年10月31日以前），および赤色（11月１日以降）の点でそれぞれ示す．これらは主として周期10秒以上に卓越する超低周波地震を表す．期間内に発生したM7以上の地震（ただし，2011年～2015年の期間は東北地方太平洋沖地震の本震のみ）の震央を黄色星印で示す．

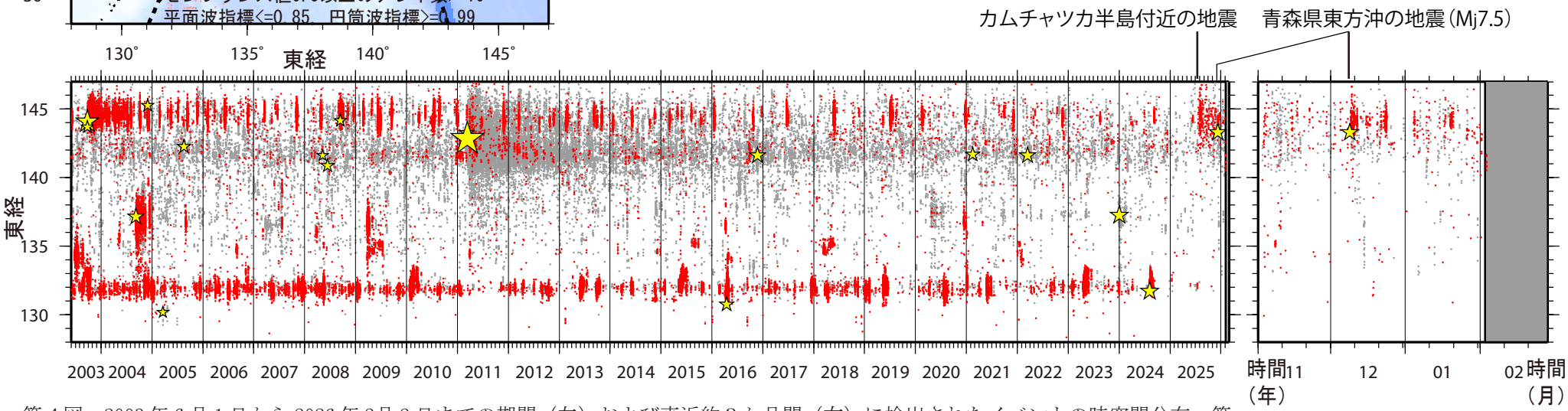
第２図．2003年６月１日から2026年２月２日までの期間（左）および直近約３か月間（右）に検出されたイベントの時空間分布．検出されたイベントを防災科研 Hi-net 手動または自動験測震源と照合し，対応する地震が見出されたイベントを灰色で，それ以外を赤色の点でそれぞれ示す．その他は第１図に同じ．

防災科学技術研究所資料

日本周辺における浅部超低周波地震活動（2025年11月～2026年1月）（つづき）



第３図．2003年６月１日から2026年２月２日までの期間にアレイ解析によって検出されたイベントの震央分布．第１図とは異なるイベント検出基準，具体的にはセンブランス値0.5以上のアレイ数10以上（第１図では15以上）という検出基準を採用した場合の検出イベントについて震央分布を示す．シンボル等は第１図に同じ．

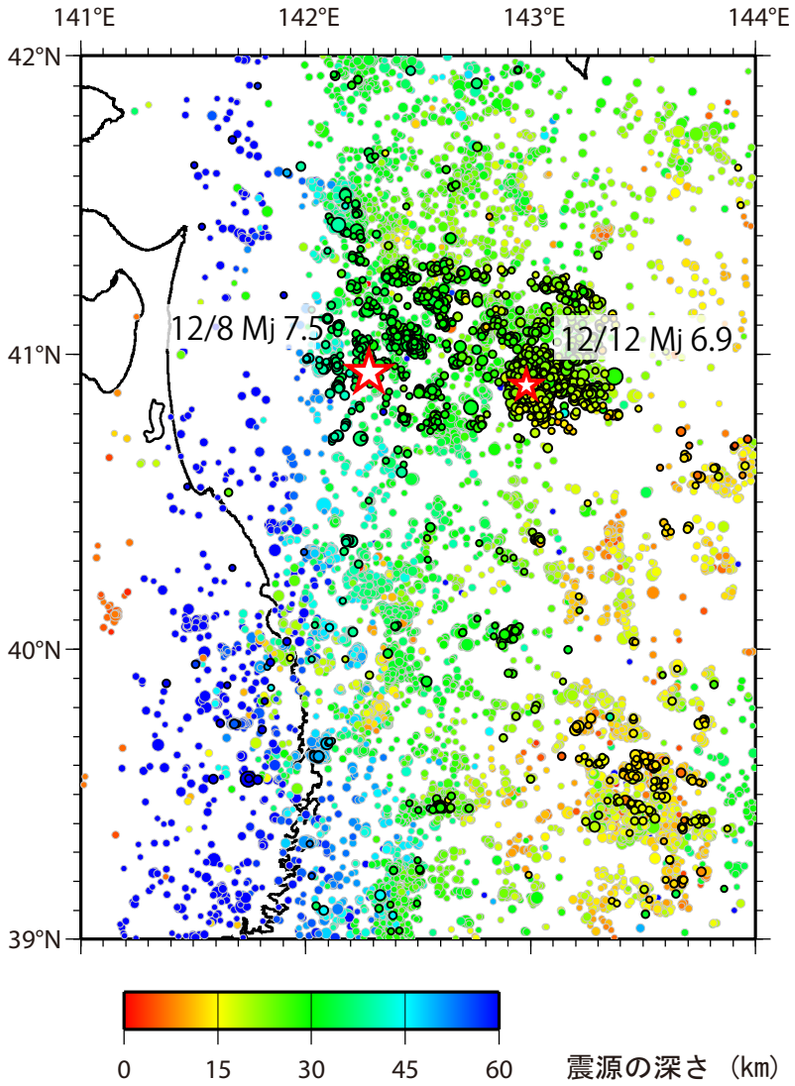


第４図．2003年６月１日から2026年2月２日までの期間（左）および直近約３か月間（右）に検出されたイベントの時空間分布．第３図と同じ検出基準による検出イベント時空間分布を示す．シンボル等は第２図に同じ．

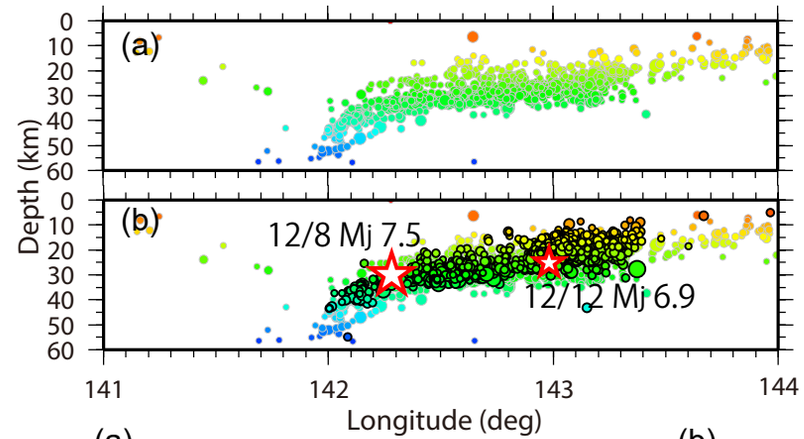
防災科学技術研究所資料

2025年12月8日青森県東方沖の地震　観測点補正値による震源再決定

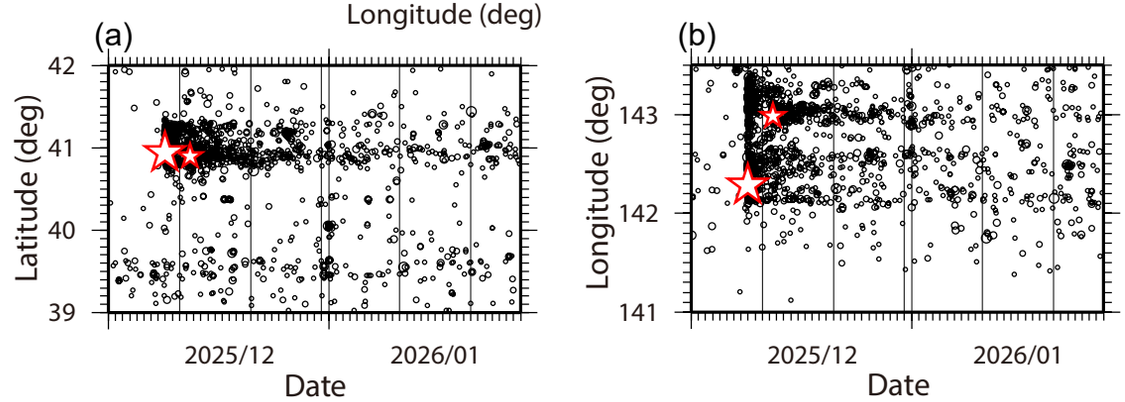
●観測点補正値を用いて2017年以降の地震の震源を再決定
●CMT解の深さに震源深さを固定した震源決定時の走時残差より観測点補正値を評価［浅野・他（2021JpGU）］
●余震域は複数のクラスタによって構成される
●余震域の目立った拡大は認められない



第１図．観測点補正値による再決定震源の分布．2017年1月1日から2026年1月27日までの期間について，12月1日以降の地震を黒色アウトラインで，それより前の地震を灰色アウトラインの丸印でそれぞれ示す．シンボルの色（除くMj 7.5及び6.9の地震）は地震の深さを表す．赤星印でMj 7.5及び6.9の地震の震央を併せて示す．



第２図．再決定震源の深さ分布．第１図矩形領域内の地震の深さ分布を示す．(a) 2017年から2025年11月，(b) 2017年から2026年1月27日の期間内に発生した地震．シンボルは第１図に同じ．



第３図．再決定震源の時空間分布．2025年12月1日から2026年1月27日の期間内における(a) 緯度－時間分布，及び (b) 経度－時間分布．時空間上の地震を黒丸印で示す．赤星印は第１図に同じ．

謝辞
本解析には，気象庁，北海道大学，弘前大学，東北大学，および地震予知総合研究振興会の記録も使用させていただいた．

防災科学技術研究所資料

2025年12月8日青森県東方沖の地震の断層すべり分布（暫定）防災科学技術研究所

2025年12月8日23時15分頃に青森県東方沖で発生した地震（Mj 7.5; 気象庁）について、強震波形記録を用いた震源インバージョン解析を行った。

- 記録：K-NET・KiK-net地中観測点の19観測点における速度波形三成分のS波部分（0.05–0.5 Hz）
- 解析手法：マルチタイムウィンドウ線形波形インバージョン
  （小断層4 km×4 km、1.2秒幅のタイムウィンドウを0.6秒ずらして5個並べる）
- 断層面設定：走向187° ・傾斜25° （F-net解による）、大きさ56 km ×48 km、破壊開始点は気象庁震源位置
  ＊ここで設定した断層面は解析の都合上仮定したものであり、必ずしも実際の断層面を反映しているわけではないことに留意
- 推定結果：M_0=1.5×10^{20} Nm（M_w 7.4）、最大すべり量4.3m、Vftw 4.0 km/s
  主たる破壊は破壊開始点付近とその浅部において生じていた。

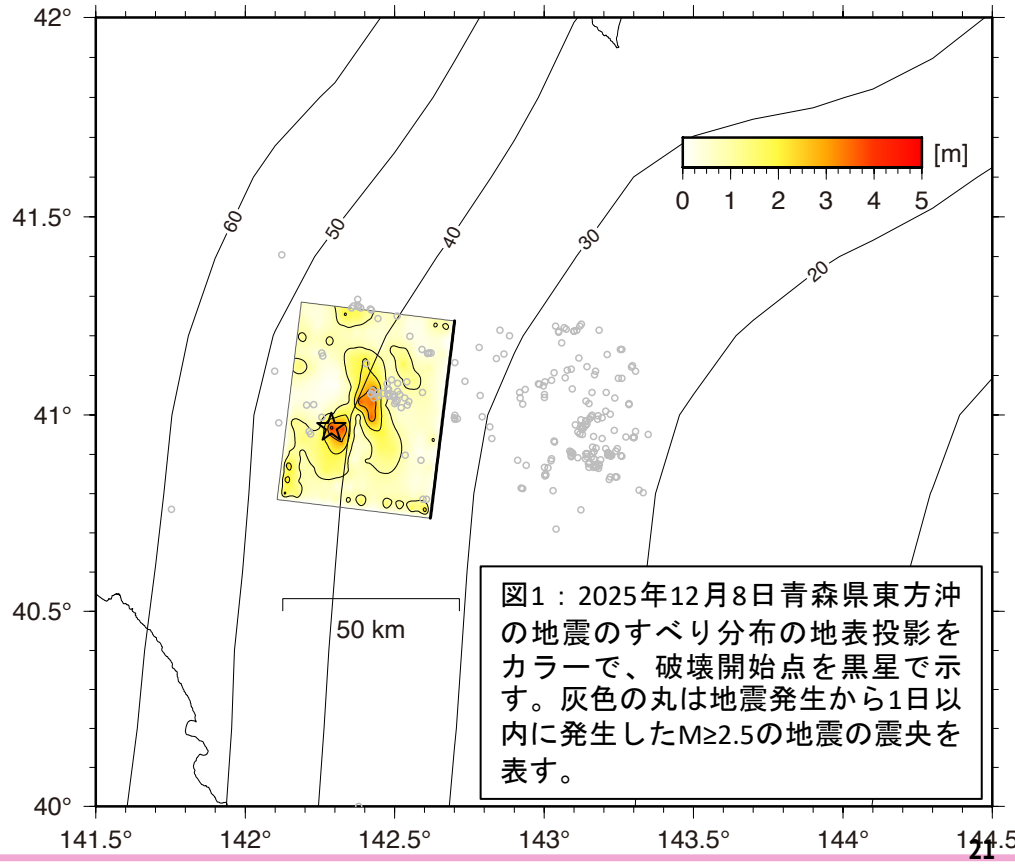
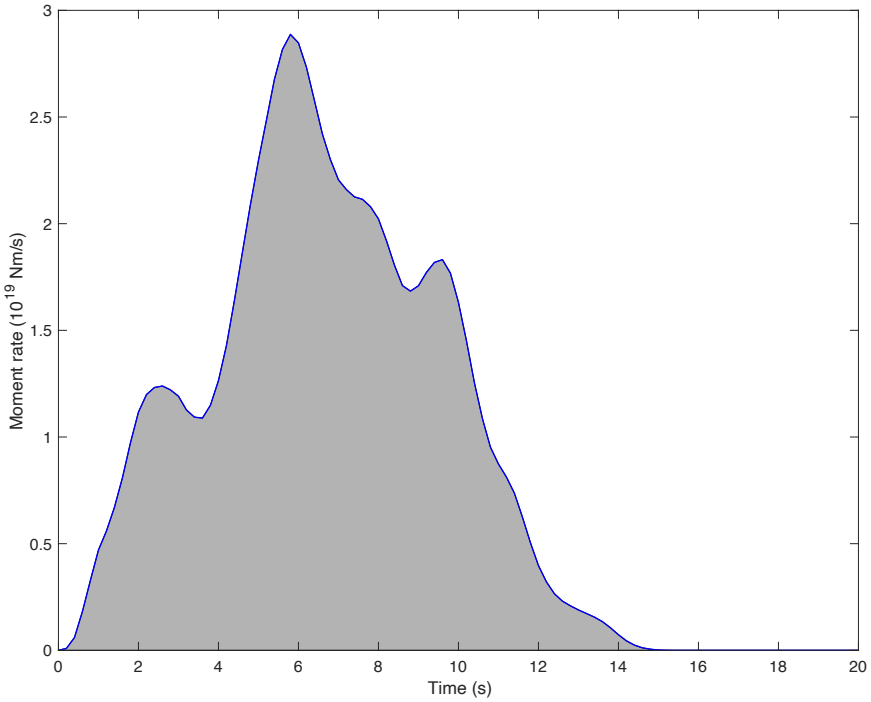


図1：2025年12月8日青森県東方沖の地震のすべり分布の地表投影をカラーで、破壊開始点を黒星で示す。灰色の丸は地震発生から1日以内に発生したM≥2.5の地震の震央を表す。

図2：2025年12月8日青森県東方沖の地震のモーメントレート関数を示す。



2025年12月8日青森県東方沖の地震における津波波源を用いた矩形断層面推定（暫定）

データ：S-net水圧計記録の逆解析によって推定された津波波源分布

矩形断層面推定手法：MCMC法によるフルベイジアン推定手法（Kubo et al. 2023, EPS)を適用。
断層パラメータのうち、走向はF-netメカニズム解の低角逆断層節面の値（187度）に固定。

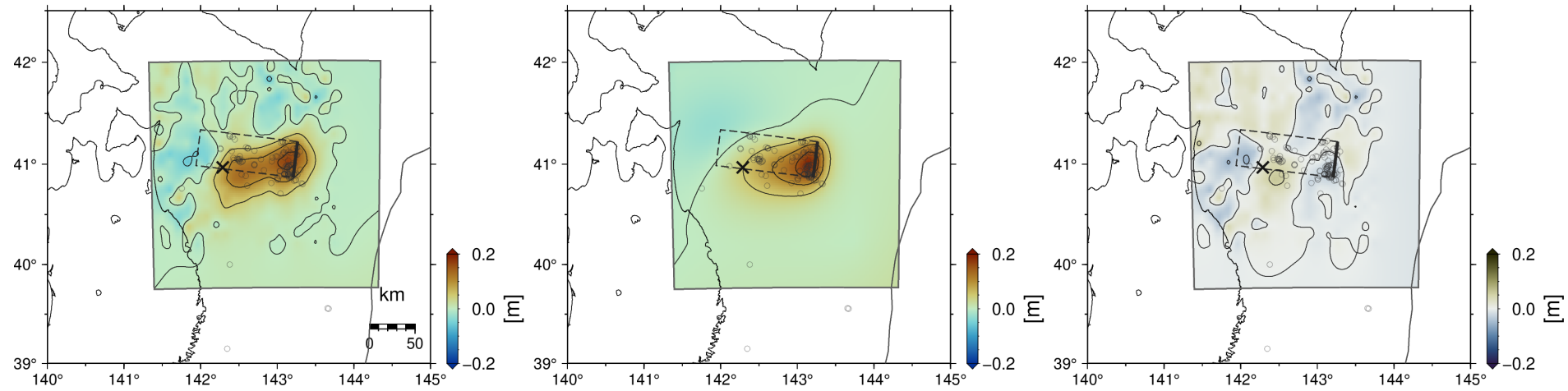
解析結果：断層上端中央の緯度：41.045度、経度：143.236度、深さ：17.8 km（下端深さ60.3 km）
走向：187度（F-net解）、傾斜：21.6度、すべり角：65.6度
すべり量：0.58 m、断層長：39.5 km、断層幅：115.5 km
Mw：7.40、VR：79.2%

震源付近から沖合の余震活動域まで延びる矩形断層面が推定された。

メカニズム解・プレート境界の形状と整合しつつ、推定津波波源分布も再現できている。

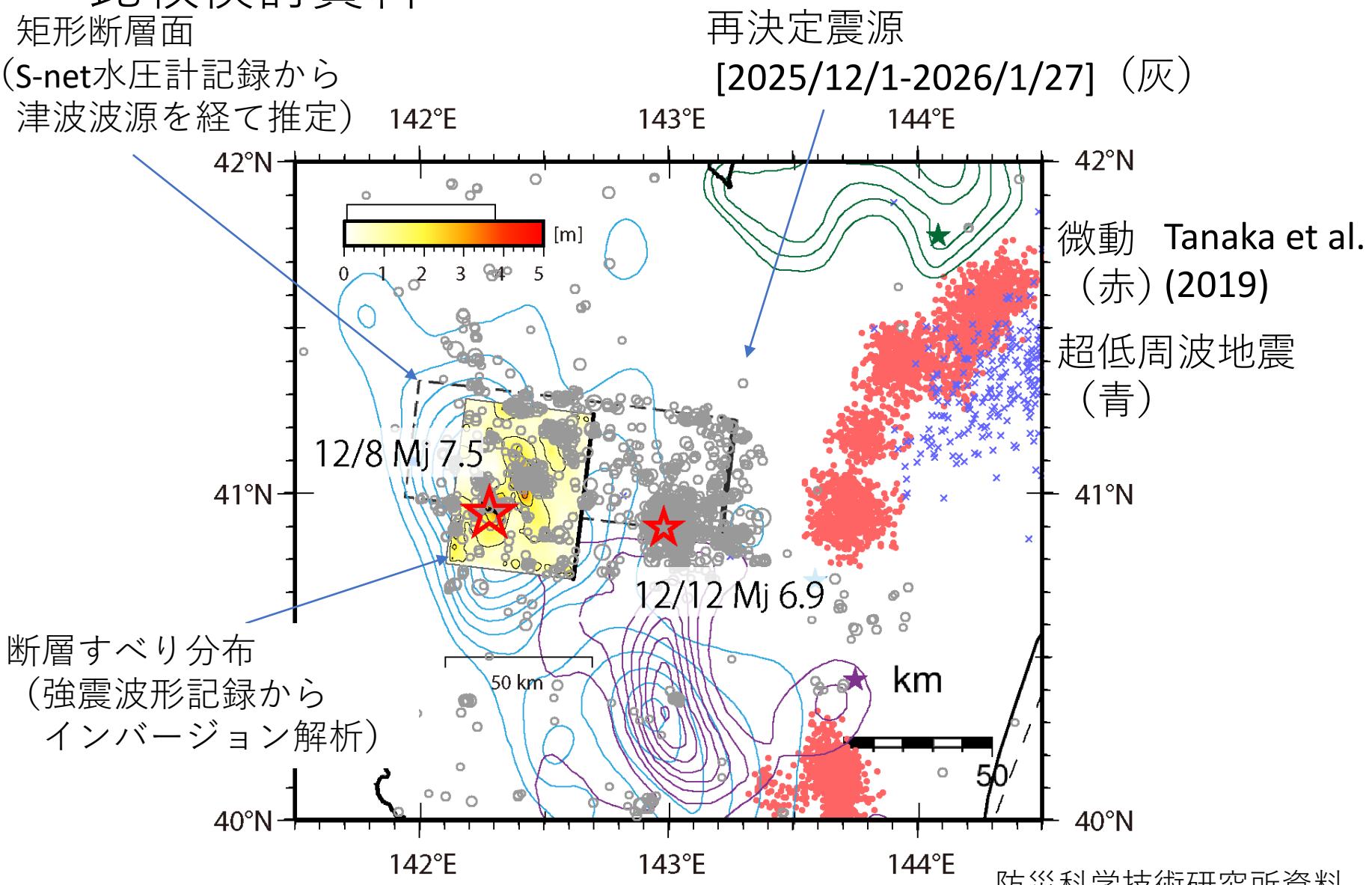
津波波源分布の隆起ピークを再現するには東経143度付近まで断層すべりが生じていた必要があると考えられる。

入力（推定津波波源分布）　理論　残差（入力ー理論）



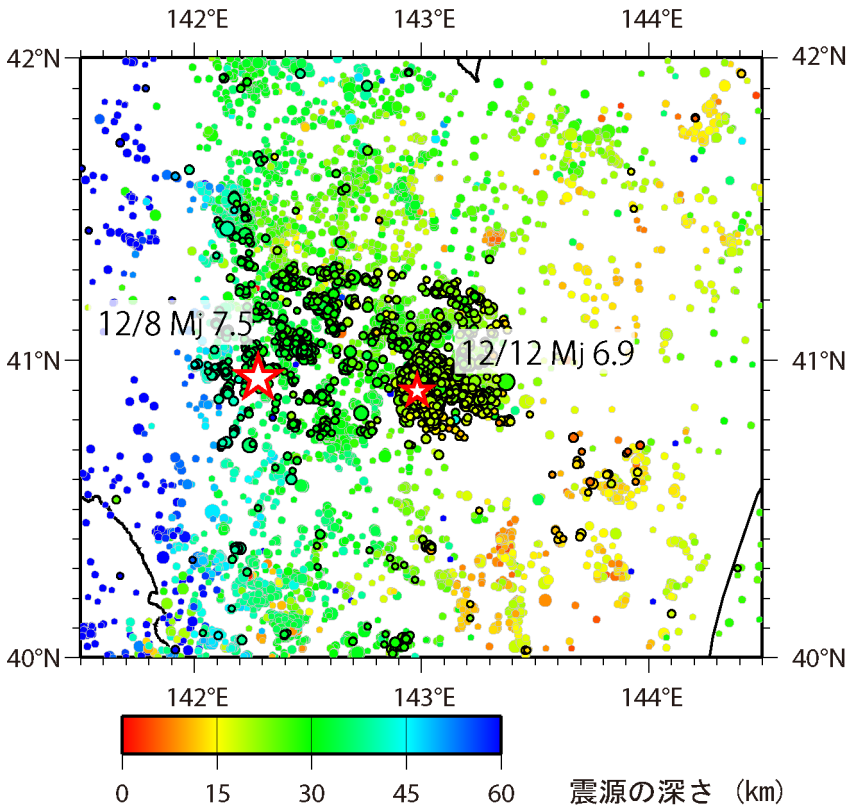
×：本震震央
○：本震発生から1日以内の余震（M≧3）の震央

2025年12月8日青森県東方沖の地震 比較検討資料



防災科学技術研究所資料

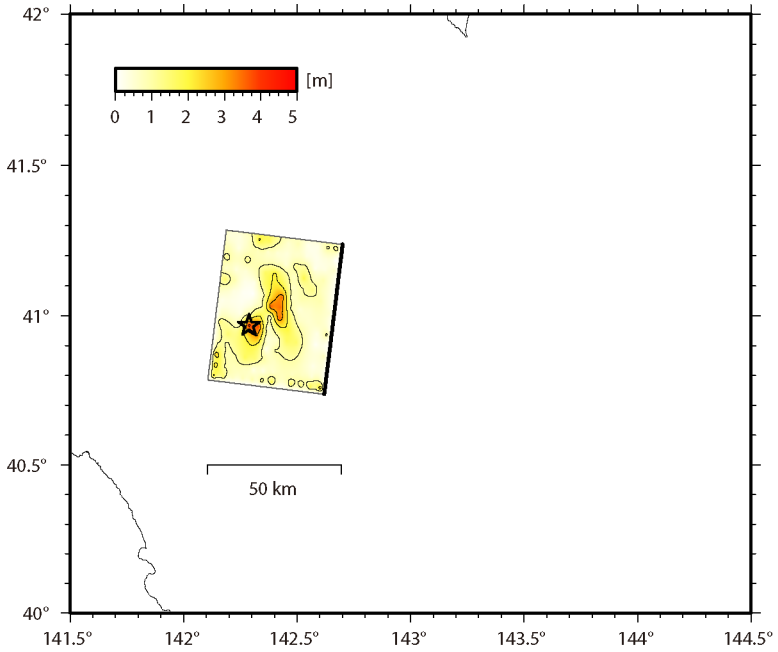
2025年12月8日青森県東方沖の地震
比較検討資料（つづき：再決定震源）



○（アウトラインあり）：2025/12/01-2026/01/27の期間内に発生の地震

防災科学技術研究所資料

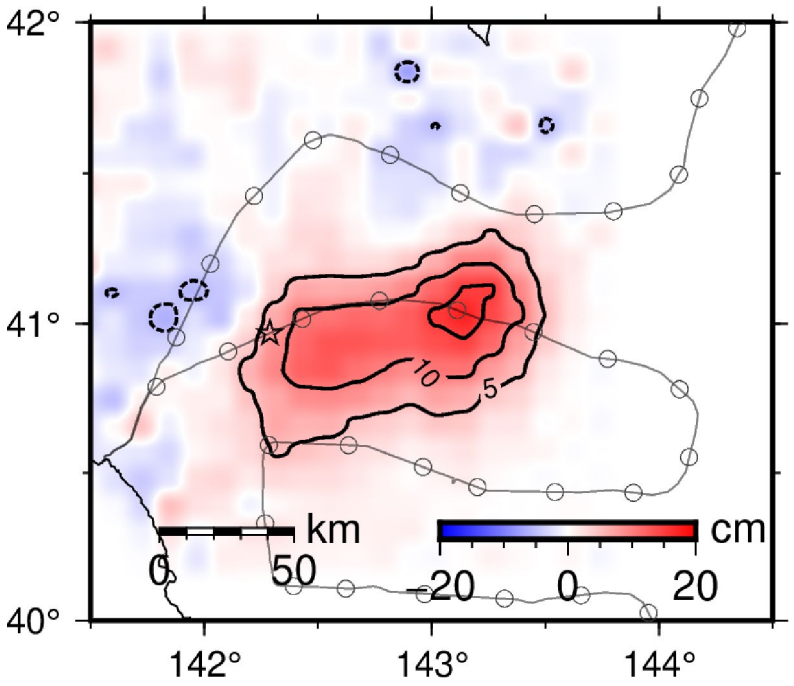
2025年12月8日青森県東方沖の地震
比較検討資料（つづき：断層すべり分布）



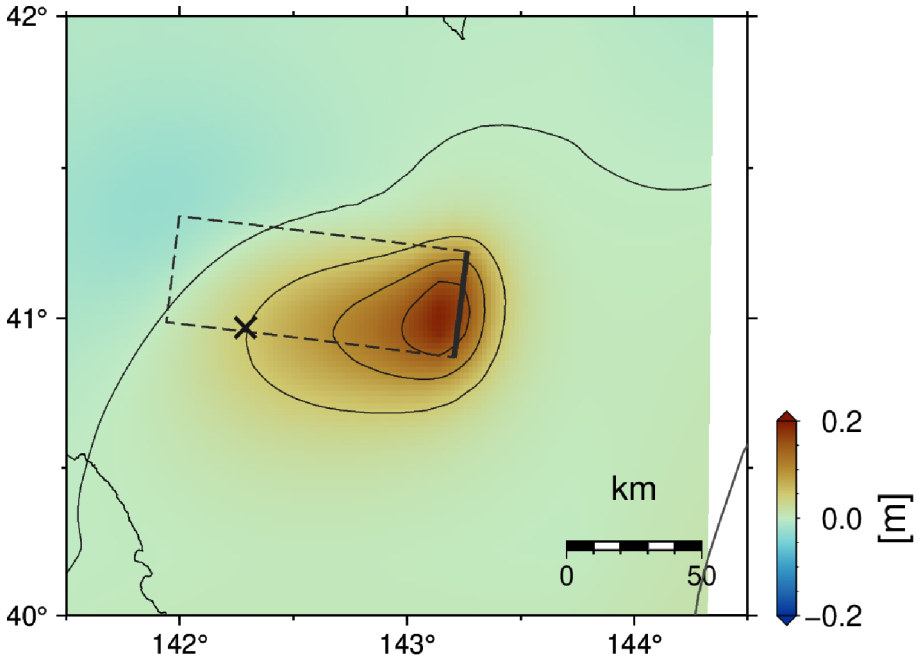
防災科学技術研究所資料

2025年12月8日青森県東方沖の地震 比較検討資料（つづき：津波波源を用いた矩形断層面推定）

推定津波波源分布

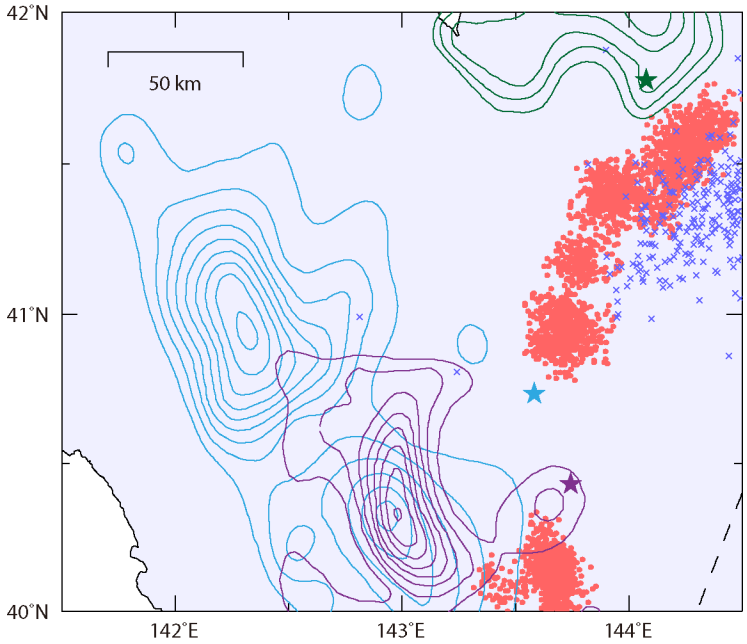


矩形断層面



防災科学技術研究所資料

2025年12月8日青森県東方沖の地震 比較検討資料（つづき：過去の微動・超低周波地震 [Tanaka et al. 2019]）



赤〇：微動，　青×超低周波地震

防災科学技術研究所資料